

$$[\mathbf{E}] = \text{Vm}^{-1} \quad [\mathbf{D}] = [\mathbf{P}] = \text{Cm}^{-2}$$

$$[C] = \text{CV}^{-1} \quad [\varepsilon_0] = 8.85 \cdot 10^{-12} \text{Fm}^{-1}$$

$$\Phi(\mathbf{E}) = \frac{q_p}{\varepsilon_0}$$

$$\mathbf{E}(r) = \frac{q}{4\pi\varepsilon r^2} \mathbf{u}_r = \frac{\mathbf{D}(r)}{\varepsilon} = \frac{\mathbf{E}_0(r)}{\varepsilon_r}$$

$$\mathbf{E}(R) = \frac{q}{4\pi\varepsilon R^2} = \frac{\sigma_0}{\varepsilon} \mathbf{u}_r$$

$$\Phi(\mathbf{D}) = \oint \mathbf{D} \cdot \mathbf{u}_n d\Sigma = q$$

$$\mathbf{D} = \varepsilon_0 \mathbf{E} + \mathbf{P} = \varepsilon \mathbf{E}$$

$$\mathbf{P}(r) = \frac{\varepsilon_r - 1}{\varepsilon_r} \mathbf{D} = \varepsilon_0 (\varepsilon_r - 1) \mathbf{E} = \frac{\varepsilon_r - 1}{\varepsilon_r} \sigma_0 = \varepsilon \chi \mathbf{E}$$

$$\mathbf{P}(R) = \frac{\varepsilon_r - 1}{\varepsilon_r} \sigma_0 \mathbf{u}_r$$

$$\sigma_p = \mathbf{P}(R) \cdot \mathbf{u}_r = \frac{\varepsilon_r - 1}{\varepsilon_r} \sigma_0 = \varepsilon_0 \Delta E =$$

$$= \sigma_0 \left(\frac{\varepsilon_{r1} - \varepsilon_{r2}}{\varepsilon_{r1} \varepsilon_{r2}} \right) = \sigma_1 - \sigma_2$$

$$\rho = \nabla \cdot \mathbf{D}$$

$$q_p = -\frac{\varepsilon_r - 1}{\varepsilon_r} q$$

$$V = \int \mathbf{E} \cdot d\mathbf{h}$$

$$C = \frac{q}{V}$$

$$dU_e = \frac{1}{2} V^2 dC$$

$$U_e(x) = \frac{q^2}{2C} = \int \frac{1}{2} e \mathbf{E}^2 d\tau = \int \frac{1}{2} \frac{\mathbf{D}^2}{\varepsilon} d\tau$$

Condensatore piano

$$\mathbf{F} = \frac{\varepsilon_0 \rho}{2h} (\varepsilon_r - 1) V_0^2$$

Sfera

$$\mathbf{D}(r) = \frac{q}{4\pi r^2} \mathbf{u}_r$$

$$C = 4\pi\varepsilon R$$

$$\mathbf{E}_c = \left(1 - \frac{1}{3}\right) \mathbf{E}$$

$$q_p(R) = \sigma_p(R) 4\pi R^2$$

$$\mathbf{p} = 4\pi\varepsilon_0 R^3 \frac{\varepsilon_r - 1}{\varepsilon_r - 2} \mathbf{E}_0$$

Cilindro

$$\mathbf{D}(r) = \frac{R}{r} \sigma_0$$

$$\mathbf{E}_c = \mathbf{E} + \frac{\mathbf{P}}{2\varepsilon_0} [(1 - \cos(\theta^+)) + (1 - \cos(\theta^-))]$$

$$C = \frac{2\pi\varepsilon l}{\ln\left(\frac{R_2}{R_1}\right)}$$

$$\mathbf{B} = \mu \mathbf{H} = \frac{\mu i}{4\pi} \oint \frac{d\mathbf{s} \times \mathbf{u}_r}{r^2}$$

$$\mathbf{H} = \frac{\mathbf{B}}{\mu_0} - \mathbf{M}$$

$$\mathbf{M} = \frac{\mathbf{m}}{\tau} = \chi_m \mathbf{H}$$

$$i_m = \oint \mathbf{M} \cdot d\mathbf{s}$$

$$i = \oint \mathbf{H} \cdot d\mathbf{s}$$

$$\mathbf{j}_{s,m} = \mathbf{M} \times \mathbf{u}_n$$

$$\mathbf{j}_m = \nabla \times \mathbf{M}$$

$$\mathbf{j} = \nabla \times \mathbf{H}$$

Solenoide toroidale

$$\mathbf{H} = \frac{Ni}{2\pi r} \mathbf{u}_\phi$$

$$\mathbf{B} = \frac{\mu Ni}{2\pi r} \mathbf{u}_\phi$$

Solenoide indefinito

$$\mathbf{H} = ni \mathbf{u}_z$$

$$\mathbf{j}_m = 0 \quad \mathbf{j}_{s,m} = \chi_m ni$$

Solenoide rettilineo - cilindro

$$\mathbf{B}(x) = \frac{\mu_0 ni}{2} [\cos(\phi_1) + \cos(\phi'_2)] =$$

$$= \mu_0 \frac{\mathbf{M}}{2} [\cos(\phi_1) + \cos(\phi'_2)]$$

Filo rettilineo

$$\mathbf{B} = \frac{\mu_0 i a}{2\pi R \sqrt{R^2 + a^2}} \mathbf{u}_\phi$$

Spira circolare

$$\mathbf{B}(x) = \frac{\mu_0 i R^2}{2r^3} \mathbf{u}_n = \frac{\mu_0 i R^2}{2(x^2 + R^2)^{3/2}}$$

Sfera

$$\mathbf{B}_{int} = \frac{2\mu_0 \mathbf{M}}{3}$$

Elettromagnete

$$\mathbf{B} = -\mu_0 \frac{s-h}{h} \mathbf{H} + \mu_0 \frac{Ni}{h}$$

$$\begin{cases} \nabla \times \mathbf{E} = 0 \\ \nabla \cdot \mathbf{D} = 0 \\ \frac{\mathbf{D}}{\varepsilon_0} = \mathbf{E} + \frac{\mathbf{P}}{\varepsilon_0} \end{cases} \quad \begin{cases} \nabla \times \mathbf{H} = 0 \\ \nabla \cdot \mathbf{B} = 0 \\ \frac{\mathbf{B}}{\mu_0} = \mathbf{H} + \mathbf{M} \end{cases}$$

$$\begin{cases} \mathbf{E} \leftrightarrow \mathbf{H} \\ \frac{\mathbf{D}}{\varepsilon_0} \leftrightarrow \frac{\mathbf{B}}{\mu_0} \\ \frac{\mathbf{P}}{\varepsilon_0} \leftrightarrow \mathbf{M} \end{cases}$$

Componenti **tangenziali continue**:

$$\begin{cases} E_{1,t} = E_{2,t} \\ H_{1,t} = H_{2,t} \end{cases}$$

Componenti **normali continue**:

$$\begin{cases} D_{1,t} = D_{2,t} \\ B_{1,t} = B_{2,t} \end{cases}$$

Componenti **tangenziali discontinue**:

$$\begin{cases} \frac{D_{1,t}}{\varepsilon_{r1}} = \frac{D_{2,t}}{\varepsilon_{r2}} \\ \frac{B_{1,t}}{\kappa_{1,m}} = \frac{B_{2,t}}{\kappa_{2,m}} \end{cases}$$

Componenti **normali discontinue**:

$$\begin{cases} \varepsilon_{r1} E_{1,n} = \varepsilon_{r2} E_{2,n} \\ \kappa_{1,m} H_{1,n} = \kappa_{2,m} H_{2,n} \end{cases}$$

Cavità sottile parallela alle linee di campo

$$\begin{cases} \mathbf{E}_c = \mathbf{E} \\ \mathbf{H}_c = \mathbf{H} \end{cases} \quad \begin{cases} \mathbf{D}_c = \varepsilon_0 \mathbf{E}_c \neq \mathbf{D} = \varepsilon_0 \mathbf{E} + \mathbf{P} \\ \mathbf{B}_c = \mu_0 \mathbf{H}_c \neq \mathbf{B} = \mu_0 (\mathbf{H} + \mathbf{M}) \end{cases}$$

Cavità piatta ortogonale alle linee di campo

$$\begin{cases} \mathbf{E}_c = \mathbf{E} + \frac{\mathbf{P}}{\varepsilon_0} \\ \mathbf{H}_c = \mathbf{H} + \mathbf{M} \end{cases} \quad \begin{cases} \mathbf{D}_c = \mathbf{D} \\ \mathbf{B}_c = \mathbf{B} \end{cases}$$

Cavità sferica

$$\begin{cases} \mathbf{E}_c = \mathbf{E} + \frac{\mathbf{P}}{3\varepsilon_0} \\ \mathbf{H}_c = \mathbf{H} + \frac{\mathbf{M}}{3} \end{cases} \quad \begin{cases} \mathbf{D}_c = \varepsilon_0 \mathbf{E}_c + \frac{\mathbf{P}}{3} \neq \mathbf{D} = \varepsilon_0 \mathbf{E} + \mathbf{P} \\ \mathbf{B}_c = \mu_0 (\mathbf{H} + \frac{\mathbf{M}}{3}) \neq \mathbf{B} = \mu_0 (\mathbf{H} + \mathbf{M}) \end{cases}$$

Cavità di forma qualunque

$$\begin{cases} \mathbf{E}_c = \mathbf{E} + \gamma \frac{\mathbf{P}}{\varepsilon_0} \\ \mathbf{H}_c = \mathbf{H} + \gamma \mathbf{M} \end{cases} \quad \begin{cases} \mathbf{E}_{int} = -\frac{\mathbf{P}}{3\varepsilon_0} & \mathbf{E}_{ext} = \frac{2\mathbf{P}}{3\varepsilon_0} \\ \mathbf{D}_{int} = \frac{2}{3}\mathbf{P} & \mathbf{D}_{ext} = \frac{2}{3}\mathbf{P} \end{cases}$$

$$\begin{cases} \mathcal{E} = \oint \mathbf{E} d\mathbf{s} \\ \mathcal{F} = \oint \mathbf{H} d\mathbf{s} \end{cases}$$

$$\begin{cases} \mathbf{j} = \sigma \mathbf{E} \\ \mathbf{B} = \mu \mathbf{H} \end{cases}$$

$$\begin{cases} i = \int \mathbf{j} \cdot \mathbf{u}_n d\Sigma \\ \Phi = \int \mathbf{B} \mathbf{u}_n d\Sigma \end{cases}$$

$$\begin{cases} R = \oint \frac{ds}{\sigma \Sigma} \\ \mathcal{R} = \oint \frac{ds}{\mu \Sigma} \end{cases}$$

$$\begin{cases} \mathcal{E} = Ri \\ \mathcal{F} = \mathcal{R} \Phi \end{cases}$$

$$\lambda_0 = \frac{c}{\nu} \quad \mathbf{k} = \frac{2\pi}{\lambda_0} n_1 \quad \omega = 2\pi\nu \quad v = \lambda\nu$$

$$P_{rad,ass} = \frac{\mathbf{I}}{c} = \frac{I}{c} \cos^2 \theta$$

$$(P_{rad,ass})_m = \frac{\mathbf{I}}{c} = \frac{I}{3c}$$

$$P_{rad,rif} = \frac{2\mathbf{I}}{c} = \frac{2I}{c} \cos^2 \theta$$

$$(P_{rad,rif})_m = \frac{2\mathbf{I}}{c} = \frac{2I}{3c}$$

$$\mathbf{S} = \mathbf{E} \times \mathbf{H}$$

$$P = \int \mathbf{S} \cdot \mathbf{u}_n d\Sigma$$

$$I = S_m = \frac{1}{2} \varepsilon v E_0^2 = \frac{p_0^2 \omega^4}{32\pi^2 \varepsilon_0 c^3} \frac{\sin^2 \theta}{r^2}$$

$$I_0 = \frac{p_0^2 \omega^4}{32\pi^2 \varepsilon_0 c^3}$$

$$I_{sferica} = \frac{1}{2} \varepsilon v \frac{r_0 E_0^2}{r^2} = \frac{n}{2 \cdot 377} \frac{E_0^2}{r^2}$$

$$I_{cilindrica} = \frac{1}{2} \varepsilon v \frac{r_0 E_0^2}{r} = \frac{n}{2 \cdot 377} \frac{E_0^2}{r}$$

Dipolo elettrico

$$P = \frac{8\pi}{3} I_0$$

$$I_0 = \frac{a^2 i_0^2 \omega^2}{32\pi^2 \varepsilon_0 c^3}$$

$$\theta_i = \theta_r$$

$$\frac{\sin \theta_i}{\sin \theta_t} = \frac{v_1}{v_2} = \frac{n_2}{n_1}$$

$$\text{Potere dispersivo: } D = \frac{d\theta}{d\lambda} = \frac{1}{d} \frac{m}{\cos \theta_m}$$

$$\text{Potere risolutivo: } R = \frac{\lambda}{\Delta\lambda} = mN$$

$$\text{Larghezza angolare: } \Delta(\sin \theta) = \frac{2\lambda}{Nd}$$

$$r_1 = \frac{n_1 - n_2}{n_1 + n_2} \quad t_1 = \frac{2n_1}{n_1 + n_2}$$

$$R = r_1^2 \quad T = 1 - R$$

Interferenza **costruttiva**

$$\delta = 2m\pi, \quad d = (2m - 1) \frac{\lambda_0}{4n_2}, \quad m = 1, 2, \dots$$

Interferenza **distruttiva**

$$\delta = (2m' + 1)\pi, \quad d = m' \frac{\lambda_0}{2n_2}, \quad m = 0, 1, 2, \dots$$

$$\sin \theta = 1.22 \frac{\lambda}{D} = 0.61 \frac{\lambda}{R}$$

$$\frac{1}{p} + \frac{1}{q} = \frac{1}{f}$$

$$f = \frac{n_1}{n_2 - n_1} \frac{R_1 R_2}{R_2 - R_1}$$

Stato di polarizzazione	Equazione dell'onda	Intensità dell'onda
Onda rettilinea	$E_y = E_0 \cos \theta \sin(kx - \omega t)$ $E_z = E_0 \sin \theta \sin(kx - \omega t)$	$I_y = \frac{1}{2} \frac{n}{Z_0} E_0^2 \cos^2 \theta$ $I_z = \frac{1}{2} \frac{n}{Z_0} E_0^2 \sin^2 \theta$ $I = I_y + I_z = \frac{1}{2} \frac{n}{Z_0} E_0^2$
Onda ellittica	$E_y = E_{0y} \sin(kx - \omega t)$ $E_z = E_{0z} \cos(kx - \omega t)$	$I_y = \frac{1}{2} \frac{n}{Z_0} E_{0y}^2$ $I_z = \frac{1}{2} \frac{n}{Z_0} E_{0z}^2$ $I = I_y + I_z = \frac{1}{2} \frac{n}{Z_0} (E_{0y}^2 + E_{0z}^2)$
Onda circolare	$E_y = E_0 \sin(kx - \omega t)$ $E_z = E_0 \cos(kx - \omega t)$	$I_y = \frac{1}{2} \frac{n}{Z_0} E_0^2$ $I_z = I_y$ $I = I_y + I_z = \frac{n}{Z_0} E_0^2$
Onda non polarizzata	$E_y = (E_{0y})_m \sin(kx - \omega t)$ $E_z = (E_{0z})_m \sin[kx - \omega t + \delta(t)]$	$I_y = \frac{1}{2} \frac{n}{Z_0} (E_{0y}^2)_m$ $I_z = I_y$ $I = \frac{1}{2} \frac{n}{Z_0} (E_0^2)_m$

Polarizzazione	Intensità incidente	Intensità trasmessa
Ellittica	$I = I_y + I_z$	$I_p(\alpha) = I_y \cos^2 \alpha + I_z \sin^2 \alpha$
Circolare	$I_y = I_z = \frac{I}{2}$	$I_p(\alpha) = \frac{I}{2}$
Rettilinea	$I_y = I \cos^2 \theta$ $I_z = I \sin^2 \theta$	$I_p(\alpha) = I \cos^2(\theta - \alpha)$
Luce ordinaria	$I_y = I_z = \frac{I}{2}$	$I_p(\alpha) = \frac{I}{2}$

	Sfasamento	Ampiezze diverse		Ampiezze uguali	
max	$\delta = 0, 2\pi$	$A = A_1 + A_2$	$I = I_1 + I_2 + 2\sqrt{I_1 I_2}$	$A = 2A_0$	$I = 4I_0$
min	$\delta = \pi, 3\pi$	$A = A_1 - A_2 $	$I = I_1 + I_2 - 2\sqrt{I_1 I_2}$	$A = 0$	$I = 0$

Specchio concavo

Oggetto		Immagine	
$+\infty \geq p \geq -R$	reale	$\frac{R}{2} \geq q \geq R$	reale
$-R \geq p \geq -\frac{R}{2}$	reale	$R \geq q \geq -\infty$	reale
$-\frac{R}{2} \geq p \geq 0$	reale	$+\infty \geq q \geq 0$	virtuale
$0 > p \geq -\infty$	virtuale	$0 \geq q \geq \frac{R}{2}$	reale

Specchio convesso

Oggetto		Immagine	
$+\infty \geq p \geq -R$	reale	$\frac{R}{2} \geq q \geq R$	virtuale
$-R \geq p \geq -\frac{R}{2}$	virtuale	$R \geq q \geq -\infty$	reale
$-\frac{R}{2} \geq p \geq 0$	virtuale	$+\infty \geq q \geq 0$	virtuale
$0 > p \geq -\infty$	virtuale	$0 \geq q \geq \frac{R}{2}$	virtuale

Diottro sferico convesso

Oggetto		Immagine	
$+\infty \geq p \geq f_1$	reale	$f_2 \leq q \leq +\infty$	reale
$f_1 \geq p \geq 0$	reale	$-\infty \leq q \leq 0$	virtuale
$0 \geq p \geq -\infty$	virtuale	$0 \leq q \leq f_2$	reale

Lenti sottili

Oggetto		Immagine	
$+\infty \geq p \geq f$	reale	$f \leq q \leq +\infty$	reale
$f \geq p \geq 0$	reale	$-\infty \leq q \leq 0$	virtuale
$0 \geq p \geq -\infty$	virtuale	$0 \leq q \leq f$	reale
$+\infty \geq p \geq 0$	reale	$f \leq q \leq 0$	virtuale
$0 \geq p \geq f$	virtuale	$0 \leq q \leq +\infty$	reale
$f \geq p \geq -\infty$	virtuale	$-\infty \leq q \leq f$	virtuale

FORMULARIO ELETTROMAGNETISMO

- Forza di Coulomb** : forza che intercorre tra due particelle cariche

$$\vec{f} = \frac{k q_1 q_2}{r^2} \hat{r} = \frac{1}{4\pi\epsilon_0} \frac{q_1 q_2}{r^2} \hat{r} \quad \epsilon_0 = 8.8542 \cdot 10^{-12} \frac{C^2}{Nm^2}$$

- Campo elettrico** : quantità vettoriale generata da una carica

$$\vec{f} = \frac{Q}{4\pi\epsilon_0} \sum_{i=1}^N \frac{q_i}{r_{iQ}^2} \hat{r}_{iQ} = \frac{Q}{4\pi\epsilon_0} \vec{E} \Rightarrow \vec{f}(\vec{r}) = \frac{Q}{4\pi\epsilon_0} \sum_{i=1}^N \frac{q_i}{|r_i - r|^2} |r_i - r| \rightarrow \vec{E} = \frac{\vec{f}}{q_0}$$

- Densità di carica superficiale, volumetrica e lineare** :

$$\rho = \frac{Q_{tot}}{\tau} \quad ; \quad \sigma = \frac{Q_{tot}}{\Sigma} \quad ; \quad \lambda = \frac{Q_{tot}}{l} \quad \text{al discreto}$$

$$Q_{tot} = \int_{\tau} \rho d\tau = \int_{\Sigma} \sigma d\Sigma = \int_l \lambda dl \quad \text{al continuo}$$

- Campo elettrico a distanza x da un filo infinito carico**

$$\vec{E}(x) = \frac{1}{2\pi\epsilon_0} \frac{\lambda}{x} \hat{x}$$

- Campo elettrico a distanza x da una spira di raggio r**

$$\vec{E}(x) = \frac{1}{2\epsilon_0} \frac{\lambda x r}{\sqrt{(x^2 + r^2)^3}} \hat{x}$$

- Campo elettrico a distanza x da un anello di raggio r**

$$\vec{E}(x) = \frac{1}{2\epsilon_0} \frac{\lambda x r}{\sqrt{(x^2 + r^2)^3}} \hat{x}$$

- Campo elettrico a distanza x da un disco di raggio r**

$$\vec{E}(x) = \frac{\sigma}{2\epsilon_0} \left(1 - \frac{|x|}{\sqrt{x^2 + r^2}} \right) \hat{x} = \frac{\sigma}{2\epsilon_0} (1 - \cos(\alpha)) \hat{x}$$

- Campo elettrico a distanza x da un piano infinito uniformemente carico**

$$\vec{E}(x) = \lim_{r \rightarrow \infty} \left[\frac{\sigma}{2\epsilon_0} \left(1 - \frac{|x|}{\sqrt{x^2 + r^2}} \right) \right] \hat{x} = \frac{\sigma}{2\epsilon_0} \hat{x}$$

- Flusso di un campo elettrico**

$$\Phi_{\Sigma}(E) = \int_{\Sigma} \vec{E} \cdot d\vec{\Sigma} \xrightarrow{\text{sup.chiusa}} \Phi = \oint_{\Sigma} \vec{E} \cdot d\vec{\Sigma}$$

- Flusso del campo elettrico in una sfera**

$$\Phi_{\Sigma}(E) = \oint_{\Sigma} \vec{E} \cdot d\vec{\Sigma} = \frac{Q}{4\pi\epsilon_0 r^2} \oint ds = \frac{Q}{\epsilon_0}$$

- Campo elettrico in una sfera piena carica (a partire dal flusso)**

$$E = \begin{cases} \frac{Q}{4\pi\epsilon_0 R^3} r & \text{se } r < R \\ \frac{Q}{4\pi\epsilon_0 r^2} = \frac{\rho r}{3\epsilon_0} & \text{se } r > R \end{cases}$$

- Campo elettrico in una sfera cava carica (a partire dal flusso)**

$$E = \begin{cases} 0 & \text{se } r < R \\ \frac{Q}{4\pi\epsilon_0 r^2} & \text{se } r > R \end{cases}$$

- Angolo solido: formula generalizzata**

$$d\Omega = \frac{d\Sigma}{r^2} \hat{n} \text{ [steradiante]} \quad \Omega \leq 4\pi$$

- **Teorema di Gauss**

$$\Phi_E(E) = \int_{\Sigma} \vec{E} \cdot d\vec{\Sigma} = \frac{Q_{int}}{\epsilon_0}$$

- **Teorema di Gauss in forma differenziale (divergenza del campo elettrico)**

$$\Phi_E(E) = \int_{\Sigma} \vec{E} \cdot d\vec{\Sigma} = \frac{Q_{int}}{\epsilon_0} = \frac{1}{\epsilon_0} \int_{\tau} \rho \, d\tau = \int_{\tau} \vec{\nabla} \cdot \vec{E} \, d\tau$$

I eq. Maxwell $\vec{\nabla} \cdot \vec{E} = \frac{\rho}{\epsilon_0}$

- **Lavoro e Potenziale elettrico**

$$W = \int_A^B \vec{f} \cdot d\vec{l} = \frac{qQ}{4\pi\epsilon_0} \int_A^B \frac{\hat{r}}{r^2} d\vec{l} = \frac{qQ}{4\pi\epsilon_0} \left(\frac{1}{r_a} - \frac{1}{r_b} \right) \Rightarrow U = \frac{Q}{4\pi\epsilon_0} \sum_{i=1}^N \frac{q_i}{r_{iQ}} \Rightarrow U = Q \cdot V(\vec{r})$$

Energia dovuta al potenziale di un campo elettrico generato da Q.

- **Potenziale generato da una carica puntiforme q in un punto a distanza r**

$$V(\vec{r}) = \int_r^{\infty} \vec{E} \cdot d\vec{s} = V(r) - V(\infty) = V(r) = \frac{q}{4\pi\epsilon_0 r}$$

- **Potenziale generato da un sistema di N cariche**

$$V(\vec{r}) = \frac{1}{4\pi\epsilon_0} \sum_{i=1}^N \frac{q_i}{|\vec{r} - \vec{r}_i|} + C$$

- **Potenziali generati da distribuzioni di carica superficiali , volumetriche o lineari**

$$V(\vec{r}) = \frac{1}{4\pi\epsilon_0} \int_{\tau} \rho(\vec{r}') \frac{d\tau'}{|\vec{r} - \vec{r}'|}; V(\vec{r}) = \frac{1}{4\pi\epsilon_0} \int_{\Sigma} \sigma(\vec{r}') \frac{d\Sigma'}{|\vec{r} - \vec{r}'|}; V(\vec{r}) = \frac{1}{4\pi\epsilon_0} \int_l \lambda(\vec{r}') \frac{dl'}{|\vec{r} - \vec{r}'|}$$

- **Relazioni differenziali per il campo elettrico**

$$\vec{E} = -\text{grad } V = -\vec{\nabla} \cdot V$$

$$\text{coord. cart. } E = \begin{cases} E_x = -\frac{\partial V}{\partial x} \\ E_y = -\frac{\partial V}{\partial y} \\ E_z = -\frac{\partial V}{\partial z} \end{cases} \quad \text{coord. sferiche } E = \begin{cases} E_r = -\frac{\partial V}{\partial r} \\ E_{\theta} = -\frac{1}{r} \frac{\partial V}{\partial \theta} \\ E_{\varphi} = -\frac{1}{r \sin \theta} \frac{\partial V}{\partial \varphi} \end{cases}$$

- **Delta di Dirac : definisce dalla carica volumetrica quella definita in un modo qualunque nello spazio**

$$\delta(x) = \begin{cases} 0 & \text{per } x \neq 0 \\ +\infty & \text{per } x = 0 \end{cases} ; \quad \int_{-\infty}^{+\infty} \delta(x) = 1 ; \quad \int_{-\infty}^{+\infty} f(x) \delta(x) = f(0)$$

- **Carica volumetrica con delta di Dirac**

$$Q(x_1, y_1, z_1) = \int_{\tau} \rho \, d\tau = \int_{\tau} \rho(x, y, z) \, d\tau = \int_{\tau} q_1 \delta(x - x_1) \delta(y - y_1) \delta(z - z_1) d\tau$$

- **Differenza di potenziale per un filo carico da un punto x0 a un punto x**

$$\Delta V = -\frac{\lambda}{2\pi\epsilon_0} \ln \frac{r}{r_0}$$

- **Potenziale elettrico di dipolo (due cariche q a distanza h)**

$$V = \frac{1}{4\pi\epsilon_0} \frac{\vec{p} \cdot \vec{r}}{r^3} \quad \vec{p} = q\vec{h} \text{ momento di dipolo}$$

- **Campo elettrico di dipolo**

$$\vec{E} = \frac{1}{4\pi\epsilon_0} \left[3 \left(\frac{\vec{p} \cdot \vec{r}}{r^5} \right) \vec{r} - \frac{\vec{p}}{r^3} \right] = \frac{1}{4\pi\epsilon_0} \frac{3\hat{r}(\vec{p} \cdot \hat{r}) - \vec{p}}{r^3}$$

Per un $\vec{p} = p\hat{z}$ valgono le seguenti scomposizioni

$$E = \begin{cases} E_x = p \frac{1}{4\pi\epsilon_0} \frac{xz}{r^5} \\ E_y = p \frac{1}{4\pi\epsilon_0} \frac{yz}{r^5} \\ E_z = p \frac{1}{4\pi\epsilon_0} \frac{3\cos\theta - 1}{r^3} \end{cases}$$

- **Momento torcente di dipolo in campo elettrico**

$$\vec{\Gamma} = qEh \sin\theta = |\vec{p} \times \vec{E}|$$

- **Energia del dipolo**

$$U = -\vec{E} \cdot \vec{p}$$

- **Energia di interazione tra due dipoli (d =distanza tra i dipoli)**

$$U_{es} = \frac{1}{4\pi\epsilon_0 d^3} [\vec{p}_1 \cdot \vec{p}_2 - 3(\vec{p}_1 \cdot \hat{r})(\vec{p}_2 \cdot \hat{r})]$$

- **Potenziale approssimato con momento di dipolo e quadrupolo**

$$\begin{aligned} V &= V^{(0)} + V^{(1)} + V^{(2)} + o(V^{(3)}) = \\ &= \frac{1}{4\pi\epsilon_0} \frac{q}{r} + \frac{1}{4\pi\epsilon_0} \frac{\vec{r}}{r^3} q \vec{h} + \frac{1}{4\pi\epsilon_0} \frac{1}{6r^5} \sum_{ij} q_{ij} (3x_i x_j - \delta_{ij} r^2) + o(V^{(3)}) \end{aligned}$$

- **Rotore del campo elettrico e terza legge di Maxwell**

$$\vec{\nabla} \times \vec{E} = \begin{vmatrix} \hat{x} & \hat{y} & \hat{z} \\ \frac{\partial}{\partial x} & \frac{\partial}{\partial y} & \frac{\partial}{\partial z} \\ E_x & E_y & E_z \end{vmatrix}$$

$$\vec{\nabla} \times \vec{E} = 0$$

- **Teorema di Stokes (circuitazione di un campo)**

$$\oint \vec{E} \cdot d\vec{s} = \int_{\Sigma} \vec{\nabla} \times \vec{E} \cdot d\vec{\Sigma}$$

- **Capacità $C = Q/V$**

- **Capacità di una sfera conduttrice di raggio R**

$$C = 4\pi\epsilon_0 R$$

- **Capacità di un condensatore sferico**

$$C = \frac{4\pi\epsilon_0 r_1 r_2}{r_2 - r_1}$$

- **Capacità di un condensatore cilindrico**

$$C = \frac{2\pi h \varepsilon}{\ln(r_2/r_1)}$$

- **Capacità di un condensatore piano**

$$C = \varepsilon_0 \frac{\Sigma}{h}$$

- **Condensatori in serie e parallelo**

$$\text{serie: } \frac{1}{C_{eq}} = \sum_{k=0}^n \frac{1}{C_k} ; \text{ parallelo: } C_{eq} = \sum_{k=1}^n C_k$$

- **Energia di un sistema di condensatori**

$$\frac{1}{2} C V^2 = \frac{1}{2} \frac{Q^2}{C} = \frac{1}{2} Q V$$

- **Energia elettrostatica di un sistema di cariche**

$$U_{es} = \frac{1}{4\pi\varepsilon_0} \frac{1}{2} \sum_{i \neq j} \frac{q_i q_j}{r_{ij}} = \frac{\varepsilon_0}{2} \int_{\tau} E^2 d\tau$$

- **Pressione elettrostatica di un condensatore a superfici piane**

$$p = \frac{F}{\Sigma} \equiv \frac{\sigma^2}{2\varepsilon_0} ; \quad F = -Q \frac{\sigma}{2\varepsilon_0}$$

- **Energia di una sfera carica di raggio R**

$$U = \frac{3}{20} \frac{q^2}{\pi\varepsilon_0 R}$$

- **Equazioni di Poisson e Laplace**

$$\nabla^2 V = -\frac{\rho}{\varepsilon_0} \xrightarrow{\text{spazio vuoto}} \nabla^2 V = 0$$

- **Discontinuità del campo elettrico su superficie**

$$\begin{cases} E_{2\perp} - E_{1\perp} = \frac{\sigma}{\varepsilon_0} \\ E_{2\parallel} - E_{1\parallel} = 0 \end{cases}$$

- **Dielettrici Relazione empirica**

$$C_0 = \frac{\varepsilon_0 \Sigma}{h} \Rightarrow C = \varepsilon_r C_0 \Rightarrow C > C_0$$

- **Condensatore riempito in parte con dielettrico**

$$C = \frac{\varepsilon_0 b}{h} [a + (\varepsilon_r - 1)x]$$

$$U = \frac{1}{2} \frac{Q^2 h}{\varepsilon_0 b} \frac{\varepsilon_r - 1}{a + (\varepsilon_r - 1)x}$$

- **Polarizzazione per deformazione**

$$f = -kx \Rightarrow q\vec{E} = k\vec{x} \Rightarrow p = qx \Rightarrow p = \frac{q^2 E}{k} = \alpha_d E$$

$\alpha_d \rightarrow$ polarizzabilità elettronica per deformazione

- **Funzione probabilità di un insieme di dipoli sotto campo esterno**

$$dW(\vartheta) = \frac{1}{2} e^{\frac{p_0 E \cos \vartheta}{K_b T}} \sin \vartheta d\vartheta \cong \frac{1}{2} \left(1 + \frac{p_0 E_i \cos \vartheta}{K_b T} \right) \sin \vartheta d\vartheta$$

- **Momento medio di dipolo**

$$\overline{p_z} = \langle p_z \rangle = \int_0^\pi p_0 \cos \vartheta dW = \frac{p_0^2}{3K_b T} E_i = \alpha_0 E_i$$

$\alpha_0 \rightarrow$ polarizzabilità elettronica per orientamento

- **Polarizzazione complessiva di un mezzo**

$$\vec{P} = \lim_{\tau \rightarrow 0} \frac{\sum_i \vec{p}_i}{\tau} = dN \frac{\langle p_z \rangle}{d\tau} = \langle p_z \rangle n, \quad n \rightarrow \text{numero dipoli per unità di volume}$$

- **Potenziale di dielettrico polarizzato**

$$V(\vec{r}) = \frac{1}{4\pi\epsilon_0} \oint \frac{\vec{P} d\vec{s}'}{|\vec{r} - \vec{r}'|} + \frac{1}{4\pi\epsilon_0} \int \frac{(-\nabla' \vec{P})}{|\vec{r} - \vec{r}'|} d\tau' = \frac{1}{4\pi\epsilon_0} \oint \frac{\sigma d\Sigma'}{|\vec{r} - \vec{r}'|} + \frac{1}{4\pi\epsilon_0} \int \frac{\rho d\tau'}{|\vec{r} - \vec{r}'|} \Leftrightarrow$$

$$\Leftrightarrow \begin{cases} \sigma_p = \vec{P} \cdot \hat{n} \\ \rho_p = -\nabla \cdot \vec{P} \end{cases}$$

- **Relazioni tra campo elettrico, polarizzazione, costante dielettrica**

$$\vec{P} = \epsilon_0 \chi \vec{E}, \quad \chi \rightarrow \text{suscettività dielettrica}$$

$$E_0 = \frac{\sigma_0}{\epsilon_0}; \quad \sigma_p = \vec{P} \cdot \hat{n} = \epsilon_0 \chi E' \Rightarrow E' = \frac{\sigma_0 - \sigma_p}{\epsilon_0} = \frac{\sigma_0 - \epsilon_0 \chi E'}{\epsilon_0} = \frac{\sigma_0}{\epsilon_0} - \chi E' \Rightarrow$$

$$E' = \frac{E_0}{1 + \chi} \Rightarrow \epsilon_r = 1 + \chi$$

- **Induzione dielettrica**

$$\vec{D} = \epsilon_0 \vec{E} + \vec{P} \Rightarrow \begin{cases} \nabla \cdot \vec{D} = \rho \\ \oint \vec{D} \cdot \hat{n} d\Sigma = q_{libere} \end{cases}$$

- **Discontinuità di D**

$$D_2 - D_1 = \sigma_i$$

- **Campo all'esterno di una sfera uniformemente polarizzata**

$$\vec{D}(r) = \frac{q}{4\pi r^2} \hat{r} \Rightarrow \vec{E}(r) = \frac{\vec{D}(r)}{\epsilon} \Rightarrow \vec{E}(r) = \frac{1}{4\pi\epsilon_0\epsilon_r} \frac{q}{r^2}$$

- **Equazione di Clausius-Mossotti**

$$\vec{P} = n \langle p \rangle = n\alpha \left(\vec{E} + \frac{\vec{P}}{3\epsilon_0} \right) \Rightarrow \vec{P} = \frac{n\alpha}{1 - \frac{n\alpha}{3\epsilon_0}} \vec{E} = \epsilon_0 \chi \vec{E} \Rightarrow \alpha = \frac{3\epsilon_0}{n} \frac{\epsilon_r - 1}{\epsilon_r + 2}$$

- **Discontinuità del campo elettrico in presenza di dielettrici**

$$\begin{cases} E_{1\parallel} = E_{2\parallel} \\ E_{2\perp} \epsilon_{r2} = E_{1\perp} \epsilon_{r1} \end{cases} \Rightarrow \frac{\tan \vartheta_1}{\tan \vartheta_2} = \frac{\epsilon_{r1}}{\epsilon_{r2}}$$

- **Energia elettrostatica nei dielettrici**

$$U_{es} = \frac{\epsilon_0}{2} \int_{\tau} E^2 d\tau = \frac{1}{2\epsilon_0\epsilon_r} \int_{\tau} D^2 d\tau$$

- **Densità di corrente elettrica**

$$\vec{J} = n q \vec{v}_d \quad \text{ove} \quad \vec{v}_d = -\frac{e\hbar}{mv} \vec{E} \quad \text{è la velocità di deriva}$$

- **Corrente elettrica**

$$I = \int_{\Sigma} \vec{J} \cdot d\vec{\Sigma} \quad [\text{Ampère}]$$

- **Conservazione della carica**

$$\Phi_{\Sigma}(J) = \oint_{\Sigma} \vec{J} \cdot d\vec{\Sigma} = -\frac{dq_{int}}{dt}$$

- **Equazione di continuità**

$$\nabla \cdot \vec{J} + \frac{\partial \rho}{\partial t} = 0 \xrightarrow{\text{stazionarietà}} \nabla \cdot \vec{J} = 0$$

- **Legge di Ohm della conduzione elettrica**

$$\vec{J} = \sigma \vec{E} \quad \text{ove} \quad \sigma = \frac{ne^2\hbar}{mv} \quad \text{è la conduttività}; \quad \text{se} \quad \rho = \frac{1}{\sigma} \Rightarrow \vec{E} = \rho \cdot \vec{J} \quad \text{ove} \quad \rho \quad \text{è la resistività}$$

- **Legge di Ohm per i conduttori metallici**

$$V = \frac{\rho h}{\Sigma} I \Rightarrow R = \frac{\rho h}{\Sigma} \text{ resistenza} \Rightarrow V = RI$$

- **Potenza ed effetto Joule**

$$dP = \frac{dW}{dt} = VI \Rightarrow P = RI^2 = \frac{V^2}{R}$$

- **Resistori in serie o in parallelo**

$$\text{serie: } R_{eq} = \sum_i R_i \quad ; \quad \text{parallelo: } \frac{1}{R_{eq}} = \sum_i \frac{1}{R_i}$$

- **Forza elettromotrice**

$$f.e.m. = \mathcal{E} = \int_b^a \vec{E}^* d\vec{s} \quad \text{con } \vec{E}^* \text{ campo elettromotore}$$

- **Legge di Ohm generalizzata**

$$V_A - V_B + \sum_k \mathcal{E}_k = R_T I$$

- **Carica e scarica di circuiti RC**

$$\text{carica: } \begin{cases} q(t) = C\mathcal{E} \left(1 - e^{-\frac{t}{RC}}\right) \\ V_C = \mathcal{E} \left(1 - e^{-\frac{t}{RC}}\right) \end{cases} \quad \text{scarica: } \begin{cases} q(t) = q_0 e^{-\frac{t}{RC}} \end{cases}$$

- **Campo magnetico**

$$[B] = \left[\frac{N}{C \frac{m}{s}} \right] = \text{Tesla} \rightarrow 1T = 10^4 \text{ Gauss}$$

- **II° legge di Laplace**

$$d\vec{f} = I d\vec{l} \times \vec{B}$$

- **Forza di Lorentz**

$$\vec{f} = q \vec{v} \times \vec{B}$$

- **Moto di una particella in campo elettro-magnetico**

$$m \frac{d\vec{v}}{dt} = q(\vec{E} + \vec{v} \times \vec{B}) \Rightarrow \begin{cases} \vartheta = \frac{\pi}{2} \rightarrow \text{circonferenza di raggio } r_b = \frac{mv}{qB} \\ \vartheta \text{ qualsiasi} \rightarrow \text{elica con passo } p_b = \frac{2\pi mv \cos \vartheta}{qB} \end{cases}$$

- **Frequenza di ciclotrone**

$$\nu_B = \frac{qB}{2\pi m}$$

- **Momento magnetico di una spira percorsa da corrente**

$$\vec{m} = I \vec{S} = I S \hat{n} \stackrel{tot}{\Rightarrow} \vec{M} = I \vec{S} \times \vec{B}$$

- **Momento magnetico di un disco rotante**

$$\vec{m} = \frac{Q\omega R^2}{4} \hat{n}$$

- **Dipolo magnetico (potenziale vettore e scalare)**

$$\varphi = \frac{\mu_0}{4\pi} \frac{\vec{m} \cdot \vec{r}}{r^3} \quad ; \quad \vec{A} = \frac{\mu_0}{4\pi} \frac{\vec{m} \times \vec{r}}{r^3}$$

- **Energia e momento di un dipolo**

$$U_{mec} = -\vec{m} \cdot \vec{B} \quad ; \quad \vec{\tau}_m = \vec{m} \times \vec{B}$$

- **Energia di interazione tra due dipoli magnetici**

$$U_m = \frac{\mu_0}{4\pi r^3} [\vec{m}_1 \cdot \vec{m}_2 - 3(\vec{m}_1 \cdot \hat{r})(\vec{m}_2 \cdot \hat{r})]$$

- **Legge di Biot-Savart**

$$d\vec{B} = \frac{\mu_0 I}{4\pi} \frac{d\vec{l}' \times (\vec{r} - \vec{r}')}{|\vec{r} - \vec{r}'|^3} \xrightarrow{\text{int.}} \vec{B} = \frac{\mu_0 I}{4\pi} \oint \frac{d\vec{l}' \times (\vec{r} - \vec{r}')}{|\vec{r} - \vec{r}'|^3} ; \mu_0 = 4\pi \cdot 10^{-7}$$

- **Campo magnetico a distanza r da un filo percorso da corrente**

$$\vec{B} = \frac{\mu_0 I}{2\pi r}$$

- **Campo magnetico di una spira circolare percorsa da corrente (asse z)**

$$\vec{B} = \frac{\mu_0 I R^2}{2\sqrt{(R^2 + z^2)^3}}$$

- **Potenziale vettore**

$$\vec{B} = \vec{\nabla} \times \frac{\mu_0 I}{4\pi} \oint \frac{d\vec{l}'}{|\vec{r} - \vec{r}'|} = \vec{\nabla} \times \vec{A}$$

$$\vec{A} = \frac{\mu_0}{4\pi} \int \frac{\vec{j}(\vec{r}')}{|\vec{r} - \vec{r}'|} d\tau'$$

- **Potenziale scalare (per punti vicini al dipolo)**

$$\varphi = -\frac{\mu_0 I}{4\pi} \Omega$$

- **Relazioni differenziali per B (teorema di Ampère)**

$$\left\{ \begin{array}{l} \nabla \cdot \vec{B} = 0 \Leftrightarrow \int_{\Sigma} \vec{B} \cdot d\vec{\Sigma} = 0 \\ \vec{\nabla} \times \vec{B} = \mu_0 \vec{j} \Leftrightarrow \oint \vec{B} \cdot d\vec{l} = \mu_0 I_{\text{conc}} \end{array} \right.$$

- **Discontinuità di B**

$$\left\{ \begin{array}{l} B_{\parallel 1} - B_{\parallel 2} = \mu_0 \cdot \vec{j} \\ B_{\perp 1} - B_{\perp 2} = 0 \end{array} \right.$$

- **Solenoido infinito**

$$B_{\text{ext}} = 0 ; B_{\text{int}} = \mu_0 n I$$

- **Approssimazione del potenziale in una spira**

$$\vec{A} = \frac{\mu_0}{4\pi} \frac{\vec{m} \times \vec{r}}{r^3} ; \varphi = \frac{\mu_0}{4\pi} \frac{\vec{m} \cdot \vec{r}}{r^3}$$

- **Forza tra due spire percorse da corrente**

$$\vec{F}_{21} = \frac{\mu_0 I_1 I_2}{4\pi} \oint_1 \oint_2 \frac{d\vec{l}_1 d\vec{l}_2}{|\vec{r}_{21}|^3} \vec{r}_{21}$$

- **Forza tra due fili percorsi da corrente**

$$\vec{F} = \frac{\mu_0 I_1 I_2}{2\pi r}$$

- **Magnetizzazione**

$$\vec{M} = \frac{d\vec{m}}{d\tau} \Rightarrow \vec{M} = \chi_m \vec{H} = \frac{\chi_m}{\mu_0 \mu_r} \vec{B}$$

- **Suscettività magnetica e magnetismo nella materia-relazione empirica**

$$\text{Definita } \chi_m = \epsilon_r - 1 = \frac{B - B_0}{B_0} \Rightarrow \left\{ \begin{array}{l} \text{diamagnetismo} \rightarrow \chi_m < 0 \\ \text{paramagnetismo} \rightarrow \chi_m > 0 \\ \text{ferromagnetismo} \rightarrow \chi_m \gg 0 \end{array} \right.$$

- **Relazioni differenziali per J-Correnti Amperiane**

$$\left\{ \begin{array}{l} \vec{j}_{m\sigma} = \vec{\nabla} \times \vec{M} \rightarrow \text{densità volumetrica di corrente} \\ \vec{j}_{ms} = \vec{M} \times \hat{n} \rightarrow \text{densità superficiale di corrente} \end{array} \right.$$

- **Campo H e relazioni differenziali**

$$\vec{H} \stackrel{\text{def}}{=} \frac{\vec{B} - \mu_0 \vec{M}}{\mu_0}$$

$$\begin{cases} \vec{\nabla} \times \vec{H} = \vec{J} \\ \oint \vec{H} d\vec{l} = \sum_i I_i \end{cases}$$

- **Discontinuità di H**

$$\begin{cases} \sum_i \mu_i H_i = \sum_k \mu_k H_k & \text{componente perpendicolare} \\ \sum_i H_i = \sum_k H_k & \text{componente parallela} \end{cases}$$

- **Momento magnetico medio**

$$\overline{m}_z = m_0 \left[\frac{e^y + e^{-y}}{e^y - e^{-y}} - \frac{1}{y} \right] = m_0 L(y) \text{ con } L(y) = \left[\coth y - \frac{1}{y} \right] \text{ funzione di Langevin}$$

- **Mutua induzione**

$$\Phi_{12} = \frac{I_1 \mu_0}{4\pi} \oint_{\gamma_1} \oint_{\gamma_2} \frac{d\vec{s}_1 d\vec{s}_2}{|\vec{r}_2 - \vec{r}_1|} \stackrel{\text{def}}{=} I_1 M_{12}$$

- **Circuiti RLC**

$$I(t) = \frac{\mathcal{E}_0}{R} \left(1 - e^{-\frac{tR}{L}} \right)$$

- **Energia di un circuito a induttanza**

$$U = \frac{1}{2} L I^2$$

- **Energia di un insieme di N correnti**

$$U = \sum_{j=1}^N \frac{1}{2} L_j I_j^2 + \sum_{i < j} M_{ij} I_i I_j$$

- **Energia intrinseca del campo magnetico**

$$U = \frac{1}{2\mu_0} \int_{\tau} \vec{B}^2 d\tau$$

- **Leggi di Maxwell per il campo elettromagnetico**

$$\begin{cases} \vec{\nabla} \cdot \vec{D} = \rho \\ \vec{\nabla} \times \vec{E} = -\frac{\partial \vec{B}}{\partial t} \\ \vec{\nabla} \cdot \vec{B} = 0 \\ \vec{\nabla} \times \vec{B} = \mu_0 \vec{J} + \mu_0 \epsilon_0 \frac{\partial \vec{E}}{\partial t} \end{cases}$$

- **Legge di Faraday-Neumann**

$$\mathcal{E} = -\frac{d\Phi(B)}{dt}$$

FISICA GENERALE II

FORMULARIO di ELETTROMAGNETISMO

1) Elettrostatica

$\epsilon = \epsilon_o \epsilon_r$ = costante dielettrica assoluta ; ϵ_r = costante dielettrica relativa
 Nel vuoto(e nella maggior parte dei gas, condizioni STP) $\epsilon_r \simeq 1$

Legge di Coulomb nel vuoto : $\vec{F} = \frac{1}{4\pi\epsilon_o} \frac{q_1 q_2}{r^2} \hat{r}$

Campo elettrostatico : $\vec{E} = \frac{\vec{F}}{q}$ o $\vec{E} = \frac{d\vec{F}}{dq}$

Potenziale : forma integrale : $V(P_1) - V(P_2) = \int_{P_1}^{P_2} \vec{E} \cdot d\vec{l}$
 forma differenziale : $\vec{E} = -\overrightarrow{grad} V = -\vec{\nabla} V$

Conservativit  del campo elettrostatico

Forma integrale : $\oint \vec{E} \cdot d\vec{l} = 0$

Forma differenziale : $\vec{\nabla} \times \vec{E} = 0$

Campo elettrostatico e potenziale generati da :

-carica isolata puntiforme : $\vec{E} = \frac{1}{4\pi\epsilon} \frac{q}{r^2} \hat{r}$ $V = \frac{1}{4\pi\epsilon} \frac{q}{r}$

-distribuzione discreta di carica : $\vec{E} = \frac{1}{4\pi\epsilon} \sum_i \frac{q_i}{r_i^2} \hat{r}_i$ $V = \frac{1}{4\pi\epsilon} \sum \frac{q_i}{r_i}$

-distribuzione continua di carica : $\vec{E} = \frac{1}{4\pi\epsilon} \int_{\Omega} \frac{\rho d\tau}{r^2} \hat{r}$ $V = \frac{1}{4\pi\epsilon} \int_{\Omega} \frac{\rho d\tau}{r}$

Dipolo elettrico

Potenziale : $V = \frac{1}{4\pi\epsilon} \frac{\vec{p} \cdot \vec{r}}{r^3} = -\frac{1}{4\pi\epsilon} \vec{p} \cdot \vec{\nabla} \left(\frac{1}{r} \right)$

Campo : $\vec{E} = \frac{1}{4\pi\epsilon} \left[\frac{3(\vec{p} \cdot \vec{r})}{r^5} \vec{r} - \frac{\vec{p}}{r^3} \right]$

Energia del dipolo in un campo esterno : $U = -\vec{p} \cdot \vec{E}$

Forza agente su un dipolo costante: $\vec{F} = -\vec{\nabla} U = \vec{\nabla} (\vec{p} \cdot \vec{E})$

Momento meccanico agente : $\vec{\tau} = \vec{p} \times \vec{E}$

Multipoli

Il potenziale generato da una distribuzione di carica, a grande distanza dalle cariche, pu  venir espresso tramite uno sviluppo in serie i cui primi termini sono :

$$V = \frac{1}{4\pi\epsilon} \frac{Q}{r} + \frac{1}{4\pi\epsilon} \frac{\vec{p} \cdot \vec{r}}{r^3} + \dots$$

(Q carica totale e \vec{p} momento di dipolo della distribuzione)

distribuzione discreta : $\vec{p} = (\sum_i q_i x_i, \sum_i q_i y_i, \sum_i q_i z_i)$

distribuzione continua : $\vec{p} = (\int \rho x d\tau, \int \rho y d\tau, \int \rho z d\tau)$

Legge di Gauss

Forma integrale : $\int_{\Sigma} \vec{E} \cdot \hat{n} dS = \frac{Q_{int}}{\epsilon_o}$ (Σ superficie chiusa)

Forma differenziale : $\vec{\nabla} \cdot \vec{E} = \frac{\rho}{\epsilon_o}$

Conduttori

- $\vec{E}_{int} = 0$
- conduttore è sempre equipotenziale
- campo in vicinanza di un conduttore (Teorema di Coulomb): $\vec{E} = \frac{\sigma}{\epsilon_o} \hat{n}$
- forza per unità di superficie su un conduttore : $\frac{dF}{dS} = \frac{\sigma^2}{2\epsilon_o}$

Equazione del potenziale elettrostatico

Equazione di Poisson : $\nabla^2 V = -\frac{\rho}{\epsilon_o}$

Equazione di Laplace : $\nabla^2 V = 0$ (dove $\rho = 0$)

Condensatori

Definizione di capacità : $C = \frac{Q}{\Delta V}$

Capacità cond. piano : $C = \epsilon \frac{S}{d}$

Capacità cond. cilindrico : $C = 2\pi\epsilon \frac{L}{\log\left(\frac{r_{est}}{r_{int}}\right)}$

Capacità cond. sferico : $C = 4\pi\epsilon \frac{r_{est} r_{int}}{r_{est} - r_{int}}$

Condensatori in parallelo : $C = C_1 + C_2 + \dots + C_N$

Condensatori in serie : $\frac{1}{C} = \frac{1}{C_1} + \frac{1}{C_2} + \dots + \frac{1}{C_N}$

Energia del condensatore : $U = \frac{1}{2} Q \Delta V = \frac{1}{2} C \Delta V^2 = \frac{1}{2} \frac{Q^2}{C}$

Forza tra armature : $F = \frac{Q^2}{2\epsilon S}$

(cond. piano)

Dielettrici

Vettore polarizzazione : $\vec{P} = \lim_{\Delta\tau \rightarrow 0} \frac{\Delta \vec{p}}{\Delta\tau}$

(momento dip. per unità volume)

mezzo isotropo e lineare : $\vec{P} = \epsilon_o \chi \vec{E}$

Suscettività dielettrica : $\chi_e = N[\alpha_{def} + \alpha_{orien}] \simeq N[4\pi R_{at}^3 + \frac{1}{3\epsilon_o} \frac{p_o^2}{kT}]$

(N = no. molecole per unità di volume)

Costante dielettrica relativa: $\epsilon_r = \chi + 1$

Vettore spostamento elettrico : $\vec{D} = \epsilon_o \vec{E} + \vec{P} = \epsilon_o \epsilon_r \vec{E}$

Cariche di polarizzazione : $\sigma_{pol} = \vec{P} \cdot \hat{n}$

: $\rho_{pol} = -\vec{\nabla} \cdot \vec{P}$

Equazioni dell'elettrostatica in presenza di dielettrici

$$\begin{aligned}\vec{\nabla} \times \vec{E} &= 0 & ; & & \oint \vec{E} \cdot d\vec{l} &= 0 \\ \vec{\nabla} \cdot \vec{D} &= \rho & ; & & \int_{\Sigma} \vec{D} \cdot \hat{n} dS &= Q_{lib}\end{aligned}$$

Condizioni di continuità all'interfaccia fra due mezzi

$$E_{t1} = E_{t2} \quad ; \quad D_{n1} = D_{n2}$$

Dielettrici densi

Campo di Lorentz : $\vec{E}_m = \vec{E} + \frac{\vec{P}}{3\epsilon_o}$

Formula Clausius-Mossotti : $\frac{\epsilon_r - 1}{\epsilon_r + 2} = \frac{N\alpha}{3\epsilon_o}$

Energia elettrostatica

Energia distribuzione discreta : $U = \frac{1}{2} \frac{1}{4\pi\epsilon} \sum_{i,j,i \neq j} \frac{q_i q_j}{r_{ij}} = \frac{1}{2} \sum_i q_i V_i$
(V_i potenziale di tutte le cariche $\neq i$)

Energia distribuzione continua : $U = \frac{1}{2} \int \rho V d\tau$

Energia sistema conduttori : $U = \frac{1}{2} \sum_i Q_i V_i$
(V_i potenziale conduttore i con carica Q_i)

Densità energia del campo : $u = \frac{1}{2} \vec{E} \cdot \vec{D} = \frac{1}{2} \epsilon_o \epsilon_r E^2$

Densità energia interazione di un dielettrico in un campo esterno:

$$u = \frac{1}{2} \vec{E} \cdot \vec{D} = \frac{1}{2} \epsilon_o \epsilon_r E^2$$

2) Correnti stazionarie

Densità di corrente : $\vec{j} = nq \vec{v} = \rho \vec{v}$

Equazione di continuità : $\vec{\nabla} \cdot \vec{j} = -\frac{\partial \rho}{\partial t}$ (ρ =densità di carica)

Intensità di corrente : $i = \frac{dq}{dt} = \int_{\Sigma} \vec{j} \cdot \hat{n} dS$

Legge di Ohm (forma locale) : $\vec{j} = \sigma \vec{E}$ (σ =conducibilità)
per elemento finito : $V = R i$

Resistenza conduttore di sezione costante : $R = \frac{1}{\sigma} \frac{l}{S} = \rho_s \frac{l}{S}$

N resistenze in serie : $R = R_1 + R_2 + \dots + R_N$

N resistenze in parallelo : $\frac{1}{R} = \frac{1}{R_1} + \frac{1}{R_2} + \dots + \frac{1}{R_N}$

Leggi di Kirchhoff - legge dei nodi : $\sum_k i_k = 0$

legge delle maglie : $\sum_k i_k R_k = \sum_k V_k$

Effetto Joule (potenza $P = dW/dt$, W =energia):

in forma locale : $dP = \vec{j} \cdot \vec{E} d\tau$

conduttore finito : $P = V i = i^2 R$

3) Magnetismo

Magnetostatica nel vuoto

Campo generato da una carica in moto : $\vec{B} = \frac{\mu_o}{4\pi} q \frac{\vec{v} \times \vec{r}}{r^3}$

Campo generato da una corrente : $\vec{B} = \frac{\mu_o}{4\pi} i \int \frac{d\vec{l} \times \vec{r}}{r^3}$

-filo rettilineo indefinito : $\vec{B} = \frac{\mu_o}{2\pi} \frac{i}{r} \hat{\tau}$

-spira circolare (sull'asse !) : $\vec{B} = \frac{\mu_o}{2} i \frac{R^2}{\sqrt{(R^2 + z^2)^3}} \hat{k}$

-interno solenoide indefinito : $B = \mu_o i n$ [$n = \frac{N_{spire}}{L}$]

Forza agente su una corrente : $\vec{F} = \int i d\vec{l} \times \vec{B}$

Forza su carica in moto (Forza Lorentz) : $\vec{F} = q \vec{v} \times \vec{B}$

Equazioni della magnetostatica nel vuoto:

$$\begin{aligned} \vec{\nabla} \cdot \vec{B} &= 0 & ; & & \int_{\Sigma_{chiusa}} \vec{B} \cdot \hat{n} dS &= 0 \\ \vec{\nabla} \times \vec{B} &= \mu_o \vec{j} & ; & & \oint \vec{B} \cdot d\vec{l} &= \mu_o \sum i_{conc} \end{aligned}$$

Dipolo magnetico

Momento dipolo distrib. correnti: $\vec{m} = \frac{1}{2} \int \vec{r} \times \vec{j} d\tau$

Per una spira piana: $\vec{m} = i S \hat{n}$

Potenziale Vettore : $\vec{A} = \frac{\mu_o}{4\pi} \frac{\vec{m} \times \vec{r}}{r^3}$

Campo : $\vec{B} = \frac{\mu_o}{4\pi} \left[\frac{3(\vec{m} \cdot \vec{r})}{r^5} \vec{r} - \frac{\vec{m}}{r^3} \right]$

Energia dipolo in campo esterno : $U = -\vec{m} \cdot \vec{B}$

Momento agente su dipolo in campo esterno : $\vec{M} = \vec{m} \times \vec{B}$

Momento magnetico e momento angolare di una

carica q, massa m, in moto circolare uniforme: $\vec{m} = \frac{q}{2m} \vec{L}$

Precessione (di Larmor) in campo esterno:

$$\omega_L = \frac{qB}{m}$$

Potenziale vettore

Definizione : $\vec{B} = \vec{\nabla} \times \vec{A}$

Equazione del potenziale : $\nabla^2 \vec{A} = -\mu_o \vec{j}$

Potenziale generato da un dipolo : $\vec{A} = \frac{\mu_o}{4\pi} \frac{\vec{m} \times \vec{r}}{r^3}$

Proprietá magnetiche della materia

Vettore magnetizzazione : $\vec{M} = \lim_{\Delta\tau \rightarrow 0} \frac{\Delta\vec{m}}{\Delta\tau}$

(momento dipolo per unitá di volume)

mezzo isotropo e lineare : $\vec{M} = \frac{1}{\mu_o} \frac{\chi}{1 + \chi} \vec{B} = \chi \vec{H}$

Suscettività magnetica: $\chi_m = \chi_{dia} + \chi_{par} \simeq -\mu_o \frac{NZe^2 \langle r^2 \rangle}{6m_e} + \mu_o \frac{N m_o^2}{3 kT}$

Vettore campo magnetico \vec{H} : $\vec{H} = \frac{1}{\chi} \vec{M}$

Relazione fra \vec{B} e \vec{H} : $\vec{B} = \mu_o \vec{H} + \mu_o \vec{M} = \mu_o \mu_r \vec{H}$
 $\mu_r = \chi + 1$

Correnti di magnetizzazione : $j_{sup} = \vec{M} \times \hat{n}$
 $j_{vol} = \vec{\nabla} \times \vec{M}$

Equazioni della magnetostatica nei mezzi materiali

$$\vec{\nabla} \times \vec{H} = \vec{j}_{libere} \quad ; \quad \oint \vec{H} \cdot d\vec{l} = \sum i_{conc}$$

$$\vec{\nabla} \cdot \vec{B} = 0 \quad ; \quad \int_{\Sigma chiusa} \vec{B} \cdot \hat{n} dS = 0$$

Condizioni di continuità all'interfaccia fra due mezzi

$$H_{t1} = H_{t2} \quad ; \quad B_{n1} = B_{n2}$$

Circuiti magnetici

Legge di Hopkinson : $F = R\Phi$

$F = Ni$ (forza magnetomotrice)

$R = \frac{1}{\mu} \frac{l}{S}$ (Riluttanza)

Riluttanze in serie : $R = R_1 + R_2 + \dots + R_N$

Riluttanze in parallelo : $\frac{1}{R} = \frac{1}{R_1} + \frac{1}{R_2} + \dots + \frac{1}{R_N}$

4) Campi variabili

Campi quasi-statici

Legge di Faraday-Neumann

Forma integrale : $\oint \vec{E} \cdot d\vec{l} = -\frac{d\Phi}{dt} = -\frac{d}{dt} \int_{\Sigma} \vec{B} \cdot \hat{n} dS$

Forma locale : $\vec{\nabla} \times \vec{E} = -\frac{\partial \vec{B}}{\partial t}$

Coefficiente di mutua induzione fra due circuiti :

$$\Phi_2 = M_{12} i_1 \quad ; \quad \Phi_1 = M_{21} i_2 \quad ; \quad M_{12} = M_{21}$$

Coefficiente di autoinduzione : $\Phi = Li$

Induttanza solenoide : $L = \mu_o n^2 l S$

Energia magnetica

Energia sistema circuiti : $U = \frac{1}{2} \sum_k \Phi_k i_k$

Densità energia del campo : $u = \frac{1}{2} \vec{H} \cdot \vec{B} = \frac{1}{2} \mu_o \mu_r H^2 = \frac{1}{2} \frac{B^2}{\mu_o \mu_r}$

Energia induttore : $U = \frac{1}{2} L i^2$

5) Circuiti elettrici

Grandezze variabili sinusoidalmente e fasori :

$$i = i_o \cos(\omega t + \phi) \equiv \Re[i_o \exp(i\phi) \exp(i\omega t)] = \Re[I]$$

$$I = \tilde{I}_o e^{(i\omega t)} ; \quad \tilde{I}_o = i_o e^{i\phi}$$

Circuito RC : $R \frac{dq}{dt} + \frac{q}{C} = V$
 Carica C : $q = CV(1 - \exp(-t/\tau))$; $\tau = RC$
 Scarica C : $q = q_o \exp(-t/\tau)$

Circuito RL : $L \frac{di}{dt} + R i = V$
 Extracorrente chiusura : $i = \frac{V}{R}(1 - \exp(-t/\tau))$; $\tau = L/R$
 Extracorrente apertura : $i = \frac{V}{R} \exp(-t/\tau)$

Circuito RLC serie : $L \frac{d^2 i}{dt^2} + R \frac{di}{dt} + \frac{1}{C} i = V$
 Frequenza di risonanza : $\omega_r = 2\pi\nu_r = \frac{1}{\sqrt{LC}}$

Impedenze complesse :

resistenza : $Z = R$
 capacità : $Z = \frac{1}{i\omega C}$
 induttanza : $Z = i\omega L$

6) Onde elettromagnetiche

Equazioni di Maxwell

Forma differenziale

Forma integrale

$$\begin{array}{ll} \vec{\nabla} \cdot \vec{D} = \rho & \int_{\Sigma} \vec{D} \cdot \hat{n} dS = Q_{int} \\ \vec{\nabla} \cdot \vec{B} = 0 & \int_{\Sigma} \vec{B} \cdot \hat{n} dS = 0 \\ \vec{\nabla} \times \vec{E} = -\frac{\partial \vec{B}}{\partial t} & \oint_{\Gamma} \vec{E} \cdot d\vec{l} = -\frac{\partial}{\partial t} \int_{\Sigma} \vec{B} \cdot \hat{n} dS \\ \vec{\nabla} \times \vec{H} = \vec{j} + \frac{\partial \vec{D}}{\partial t} & \oint_{\Gamma} \vec{H} \cdot d\vec{l} = \int_{\Sigma} \vec{j} \cdot \hat{n} dS + \frac{\partial}{\partial t} \int_{\Sigma} \vec{D} \cdot \hat{n} dS \end{array}$$

Densità corrente di spostamento : $\vec{j} = \frac{\partial \vec{D}}{\partial t}$
 Legge di Ohm(per conduttori) : $\vec{j} = \sigma \vec{E}$

Caratteristiche generali propagazione per onde

Equazione delle onde (3D) : $\nabla^2 \phi - \frac{1}{v^2} \frac{\partial^2 \phi}{\partial t^2} = 0$
 Equazione delle onde (1D) : $\frac{\partial^2 \phi}{\partial z^2} - \frac{1}{v^2} \frac{\partial^2 \phi}{\partial t^2} = 0$

parametri dell'onda sinusoidale :

$$\text{numero d'onda : } k = \frac{2\pi}{\lambda} = \frac{\omega}{v}$$

$$\text{vettore d'onda : } \vec{k} = k \overrightarrow{(\text{versore propag.})}$$

$$\text{lunghezza d'onda : } \lambda = \frac{v}{\nu}$$

$$\text{pulsazione : } \omega = 2\pi\nu$$

onda piana sinusoidale progressiva(1D) :

$$\phi = \phi_0 \sin(kz - \omega t) \equiv \phi_0 e^{i(kz - \omega t)}$$

onda sferica sinusoidale progressiva(1D) :

$$\phi = \frac{\phi_0}{r} \sin(\vec{k} \cdot \vec{r} - \omega t) = \phi_0 e^{i(\vec{k} \cdot \vec{r} - \omega t)}$$

Caratteristiche delle onde elettromagnetiche

$$\text{Velocità di propagazione(fase) : } v = \frac{c}{\sqrt{\epsilon_r \mu_r}} \quad ; \quad c = \frac{1}{\sqrt{\epsilon_o \mu_o}}$$

$$\text{Trasversalità onde e.m. : } \vec{E} = \vec{v} \times \vec{B}$$

Onda piana (polarizzata || asse-x) :

$$E = E_x = E_o \sin(kz - \omega t)$$

$$B = B_y = B_o \sin(kz - \omega t)$$

$$E_o = v B_o = Z_o H_o \quad ; \quad Z_o = \sqrt{\frac{\mu_o}{\epsilon_o}} \simeq 377\Omega$$

$$\text{Velocità di gruppo : } v_g = \frac{d\omega}{dk} = \frac{c}{n(\omega) + \omega \frac{dn}{d\omega}}$$

Effetto Doppler (c =velocità onda e.m.):

$$\nu' = \nu \frac{1 - (v_{oss}/c) \cos \theta}{\sqrt{1 - v_{sor}^2/c^2}}$$

Effetto Doppler nel moto collineare(non relativistico, v =velocità onda):

$$\nu' = \frac{v - v_{oss}}{v - v_{sor}} \nu$$

Energia e impulso dell'onda

$$\text{Densità di energia : } u = \frac{1}{2}\epsilon E^2 + \frac{1}{2}\mu H^2 = \epsilon E^2 = \frac{B^2}{\mu}$$

(energia per unità di volume)

$$\text{Vettore di Poynting : } \vec{\mathcal{P}} = \vec{E} \times \vec{H}$$

$$\text{Intensità (istantanea)dell'onda : } \mathcal{I} = \left| \vec{\mathcal{P}} \right| = v\epsilon E^2 = v u$$

(potenza per unità di superficie)

$$\text{Intensità (media) dell'onda(sinusoidale) : } \langle \mathcal{I} \rangle = v\epsilon \frac{E^2}{2}$$

$$\text{Quantità di moto dell'onda : } \vec{p} = u_{on} \hat{k} = \frac{\vec{\mathcal{P}}}{v}$$

(per unità di superficie e unità di tempo)

Dipolo elettrico oscillante

$$p(t) = p_o \sin \omega t$$

Campo a grandi distanze (vuoto) :

$$E_\theta = \frac{1}{4\pi\epsilon_o} \frac{p_o}{r} \sin \theta \left(\frac{\omega}{c}\right)^2 \sin(kr - \omega t) \quad ; \quad B_\phi = \frac{1}{4\pi\epsilon_o} \frac{p_o}{cr} \sin \theta \left(\frac{\omega}{c}\right)^2 \sin(kr - \omega t)$$

$$\text{Intensit  (media) irradiata dal dipolo : } \langle \mathcal{I} \rangle = \frac{p_o^2 \omega^4}{32\pi^2 \epsilon_o c^3 r^2} \sin^2 \theta$$

(energia per unit  superficie e unit  di tempo)

$$\text{Potenza (media) totale irradiata dal dipolo : } P = \langle \frac{dE}{dt} \rangle = \frac{p_o^2 \omega^4}{12\pi \epsilon_o c^3}$$

Carica accelerata

Potenza (media) totale irradiata (carica q oscillante sinusoid. $z = z_o \sin \omega t$

:

$$P = \langle \frac{dE}{dt} \rangle = \frac{q^2 z_o^2 \omega^4}{12\pi \epsilon_o c^3}$$

Intensit  irradiata da carica accelerata nella direzione θ (rispetto all'accelerazione):

$$I(\theta) = \frac{dP}{d\theta} = \frac{q^2 a^2}{16\pi^2 \epsilon_o c^3} \sin^2 \theta$$

$$\text{Potenza istantanea irradiata da una carica accelerata : } P = \frac{dE}{dt} = \frac{q^2 a^2}{6\pi \epsilon_o c^3}$$

7) Ottica

Ottica geometrica

Indice di rifrazione : $n = \sqrt{\epsilon_r}$; $\epsilon_r = \epsilon_r(\omega)$ cost. dielettrica

velocit  della luce in un mezzo : $v = \frac{c}{n}$

cammino ottico : $d = \sum_i n_i l_i$

Leggi di Snell : $\theta_{inc} = \theta_{rifl}$; $\frac{\sin \theta_1}{\sin \theta_2} = \frac{n_2}{n_1} = \frac{v_1}{v_2}$

angolo limite : $\sin \theta_{lim} = \frac{n_2}{n_1}$; se $n_2 < n_1$

angolo di Brewster : $\tan \theta_{Bre} = \frac{n_2}{n_1}$

Formule di Fresnel ($\mu_1 = \mu_2 \simeq \mu_o$):

$$\begin{aligned} \left(\frac{E_{rifl}}{E_{inc}}\right)_{\parallel} &= \frac{n_2 \cos \theta_1 - n_1 \cos \theta_2}{n_2 \cos \theta_1 + n_1 \cos \theta_2} = \frac{\tan(\theta_1 - \theta_2)}{\tan(\theta_1 + \theta_2)} \\ \left(\frac{E_{rifl}}{E_{inc}}\right)_{\perp} &= \frac{n_1 \cos \theta_1 - n_2 \cos \theta_2}{n_1 \cos \theta_1 + n_2 \cos \theta_2} = -\frac{\sin(\theta_1 - \theta_2)}{\sin(\theta_1 + \theta_2)} \\ \left(\frac{E_{tra}}{E_{inc}}\right)_{\parallel} &= \frac{2n_1 \cos \theta_1}{n_2 \cos \theta_1 + n_1 \cos \theta_2} = \frac{2 \cos \theta_1 \sin \theta_2}{\sin(\theta_1 + \theta_2) \cos(\theta_1 - \theta_2)} \\ \left(\frac{E_{tra}}{E_{inc}}\right)_{\perp} &= \frac{2n_1 \cos \theta_1}{n_1 \cos \theta_1 + n_2 \cos \theta_2} = \frac{2 \cos \theta_1 \sin \theta_2}{\sin(\theta_1 + \theta_2)} \end{aligned}$$

trasmissivit  : $t = \left(\frac{E_{tra}}{E_{inc}}\right)^2$

riflettivit  : $r = \left(\frac{E_{rifl}}{E_{inc}}\right)^2$

Caso di incidenza normale di onda non polarizzata:

$$t = \left(\frac{2\sqrt{n_1 n_2}}{n_1 + n_2} \right)^2$$

$$r = \left(\frac{n_1 - n_2}{n_1 + n_2} \right)^2$$

Formula lenti sottili: $\frac{1}{p} + \frac{1}{q} = \frac{1}{f}$; $\frac{1}{f} = (n - 1) \left(\frac{1}{r_2} - \frac{1}{r_1} \right)$

Interferenza

Interferenza fra onde piane, sinusoidali, lin. polarizzate:

$$E_1 = A_1 \sin[(kz - \omega t) + \phi_1]$$

$$E_2 = A_2 \sin[(kz - \omega t) + \phi_2]$$

$$I = I_1 + I_2 + 2\sqrt{I_1 I_2} \cos(\phi_1 - \phi_2)$$

Due sorgenti coerenti (alla Young) : $I = I_o \cos^2 \beta$

$$\beta = \frac{\pi d}{\lambda} \sin \theta \quad (d = \text{distanza fra sorgenti})$$

N sorgenti coerenti : $I = I_o \left[\frac{\sin^2(N\delta/2)}{\sin^2(\delta/2)} \right]$

$$\delta = \frac{2\pi}{\lambda} d \sin \theta \quad (b = \text{larghezza fenditura})$$

Diffrazione

Diffrazione (di Fraunhofer) da fenditura rettangolare :

$$I = I_o \left(\frac{\sin^2 \alpha}{\alpha^2} \right)$$

$$\alpha = \frac{\pi b}{\lambda} \sin \theta \quad (b = \text{larghezza fenditura})$$

condizione per i minimi ; $\sin \theta = n \frac{\lambda}{b} \quad [n \neq 0]$

Diffrazione (di Fraunhofer) da foro circolare :

$$I = I_o \left[\frac{2J_1(2\pi R \sin \theta / \lambda)}{2\pi R \sin \theta / \lambda} \right]^2$$

condizione per il 1° minimo ; $\sin \theta = 1.22 \frac{\lambda}{2R}$

Diffrazione (di Fraunhofer) da reticolo di N fenditure :

$$I = I_o \left(\frac{\sin^2 \alpha}{\alpha^2} \right) \left(\frac{\sin^2 N\beta}{\sin^2 \beta} \right)$$

$$\alpha = \frac{\pi b}{\lambda} \sin \theta \quad (b = \text{larghezza fenditura})$$

$$\beta = \frac{\pi p}{\lambda} \sin \theta \quad (p = \text{distanza fra fenditure})$$

massimi di intensità ; $p \sin \theta = n\lambda \quad [p = \text{passo}]$

Potere dispersivo del reticolo ; $\frac{d\theta}{d\lambda} = \frac{n}{p \cos \theta}$

Potere risolutivo del reticolo ; $\frac{\lambda}{\Delta\lambda} = nN$

8) Operatori vettoriali e trasformazioni di coordinate

Coordinate cartesiane

Elemento di volume : $d\tau = dx \, dy \, dz$

$$\text{grad } f \equiv \vec{\nabla} f = \frac{\partial f}{\partial x} \hat{i}_x + \frac{\partial f}{\partial y} \hat{i}_y + \frac{\partial f}{\partial z} \hat{i}_z$$

$$\text{div } \vec{v} \equiv \vec{\nabla} \cdot \vec{v} = \frac{\partial v_x}{\partial x} + \frac{\partial v_y}{\partial y} + \frac{\partial v_z}{\partial z}$$

$$\text{rot } \vec{v} \equiv \vec{\nabla} \times \vec{v} = \left[\frac{\partial v_y}{\partial z} - \frac{\partial v_z}{\partial y} \right] \hat{i}_x + \left[\frac{\partial v_z}{\partial x} - \frac{\partial v_x}{\partial z} \right] \hat{i}_y + \left[\frac{\partial v_x}{\partial y} - \frac{\partial v_y}{\partial x} \right] \hat{i}_z$$

$$\text{Laplaciano : } \nabla^2 = \frac{\partial^2}{\partial x^2} + \frac{\partial^2}{\partial y^2} + \frac{\partial^2}{\partial z^2}$$

Coordinate cilindriche

Trasformazione da $(x, y, z) \Leftrightarrow (\rho, \theta, z)$:

$$x = \rho \cos \theta \quad ; \quad y = \rho \sin \theta$$

Elemento di volume : $d\tau = \rho \, d\rho \, d\theta \, dz$

$$\text{grad } f \equiv \vec{\nabla} f = \frac{\partial f}{\partial \rho} \hat{i}_\rho + \frac{1}{\rho} \frac{\partial f}{\partial \theta} \hat{i}_\theta + \frac{\partial f}{\partial z} \hat{i}_z$$

$$\text{div } \vec{v} \equiv \vec{\nabla} \cdot \vec{v} = \frac{1}{\rho} \frac{\partial}{\partial \rho} (\rho v_\rho) + \frac{1}{\rho} \frac{\partial}{\partial \theta} v_\theta + \frac{\partial}{\partial z} v_z$$

$$\text{rot } \vec{v} \equiv \vec{\nabla} \times \vec{v} = \left[\frac{1}{\rho} \frac{\partial v_z}{\partial \theta} - \frac{\partial v_\theta}{\partial z} \right] \hat{i}_\rho + \left[\frac{\partial v_\rho}{\partial z} - \frac{\partial v_z}{\partial \rho} \right] \hat{i}_\theta + \frac{1}{\rho} \left[\frac{\partial(\rho v_\theta)}{\partial \rho} - \frac{\partial v_\rho}{\partial \theta} \right] \hat{i}_z$$

$$\text{Laplaciano : } \nabla^2 = \frac{1}{\rho} \frac{\partial}{\partial \rho} \left(\rho \frac{\partial}{\partial \rho} \right) + \frac{1}{\rho^2} \frac{\partial^2}{\partial \theta^2} + \frac{\partial^2}{\partial z^2}$$

Coordinate sferiche

Trasformazione da $(x, y, z) \Leftrightarrow (\rho, \theta, \phi)$:

$$x = \rho \sin \theta \cos \phi \quad ; \quad y = \rho \sin \theta \sin \phi \quad ; \quad z = \rho \cos \theta$$

Elemento di volume : $d\tau = \rho^2 \sin \theta \, d\rho \, d\theta \, d\phi$

$$\text{grad } f \equiv \vec{\nabla} f = \frac{\partial f}{\partial \rho} \hat{i}_\rho + \frac{1}{\rho} \frac{\partial f}{\partial \theta} \hat{i}_\theta + \frac{1}{\rho \sin \theta} \frac{\partial f}{\partial \phi} \hat{i}_\phi$$

$$\text{div } \vec{v} \equiv \vec{\nabla} \cdot \vec{v} = \frac{1}{\rho^2} \frac{\partial}{\partial \rho} (\rho^2 v_\rho) + \frac{1}{\rho \sin \theta} \frac{\partial}{\partial \theta} (v_\theta \sin \theta) + \frac{1}{\rho \sin \theta} \frac{\partial v_\phi}{\partial \phi}$$

$$\text{rot } \vec{v} \equiv \vec{\nabla} \times \vec{v} = \frac{1}{\rho \sin \theta} \left[\frac{\partial(v_\phi \sin \theta)}{\partial \theta} - \frac{\partial v_\theta}{\partial \phi} \right] \hat{i}_\rho + \frac{1}{\rho} \left[\frac{1}{\sin \theta} \frac{\partial v_\rho}{\partial \phi} - \frac{\partial(\rho v_\phi)}{\partial \rho} \right] \hat{i}_\theta + \frac{1}{\rho} \left[\frac{\partial(\rho v_\theta)}{\partial \rho} - \frac{\partial v_\rho}{\partial \theta} \right] \hat{i}_\phi$$

$$\text{Laplaciano : } \nabla^2 = \frac{1}{\rho^2} \frac{\partial}{\partial \rho} \left(\rho^2 \frac{\partial}{\partial \rho} \right) + \frac{1}{\rho^2 \sin \theta} \left[\frac{\partial}{\partial \theta} (\sin \theta \frac{\partial}{\partial \theta}) \right] + \frac{1}{\sin \theta} \frac{\partial^2}{\partial \phi^2}$$

Relazioni vettoriali utili

$$\vec{a} \times (\vec{b} \times \vec{c}) = \vec{b} (\vec{a} \cdot \vec{c}) - \vec{c} (\vec{a} \cdot \vec{b})$$

$$\text{rot grad } f \equiv \vec{\nabla} \times \vec{\nabla} f = 0$$

$$\text{div rot } \vec{v} \equiv \vec{\nabla} \cdot \vec{\nabla} \times \vec{v} = 0$$

$$\text{rot rot } \vec{v} \equiv \vec{\nabla} \times \vec{\nabla} \times \vec{v} = \vec{\nabla} (\vec{\nabla} \cdot \vec{v}) - \nabla^2 \vec{v}$$

$$\text{rot}(f \vec{v}) \equiv \vec{\nabla} \times (f \vec{v}) = f (\vec{\nabla} \times \vec{v}) - \vec{\nabla} f \times \vec{v}$$

$$\text{div}(f \vec{v}) \equiv \vec{\nabla} \cdot (f \vec{v}) = f (\vec{\nabla} \cdot \vec{v}) + \vec{\nabla} f \cdot \vec{v}$$

9) Costanti di uso frequente

Costante dielettrica del vuoto : $\epsilon_o = 8.85 \cdot 10^{-12} \text{ F/m}$
Permeabilit  magnetica del vuoto : $\mu_o = 4\pi \cdot 10^{-7} \text{ H/m}$
Carica dell'elettrone : $e = 1.60 \cdot 10^{-19} \text{ C}$
Massa dell'elettrone : $m_e = 9.1 \cdot 10^{-31} \text{ kg}$
Rapporto e/m dell'elettrone : $e/m = 1.76 \cdot 10^{11} \text{ C/kg}$
Massa del protone : $m_p = 1.67 \cdot 10^{-27} \text{ kg}$
Velocit  delle onde e.m. nel vuoto : $c = 3.0 \cdot 10^8 \text{ m/s}$
Impedenza del vuoto : $Z_o = 376.7 \text{ }\Omega$
Costante di Planck : $h = 6.626 \cdot 10^{-34} \text{ J} \cdot \text{s}$
Magnetone di Bohr : $\mu_B = 9.42 \cdot 10^{-24} \text{ A m}^2$
Costante gravitazionale : $G = 6.672 \cdot 10^{-11} \text{ m}^3 \text{ kg}^{-1} \text{ s}^{-2}$
Numero di Avogadro : $N_A = 6.02252 \cdot 10^{23} \text{ mol}^{-1}$
Costante di Boltzmann : $k = 1.38054 \cdot 10^{-23} \text{ J K}^{-1}$
Costante dei gas : $R = 8.314 \text{ J/(mol K)}$
 $\quad \quad \quad = 1.986 \text{ cal/(mol K)}$
Volume di una mole(STP gas ideale) : $k = 22.414 \cdot 10^{-3} \text{ m}^3 \text{ mol}^{-1}$
Unit  astronomica : $AU = 1.49598 \cdot 10^{11} \text{ m}$
Raggio(equatoriale)della terra : $R_{\oplus} = 6.378 \cdot 10^6 \text{ m}$
Massa della terra : $M_{\oplus} = 5.973 \cdot 10^{24} \text{ kg}$
Massa del sole : $M_{\odot} = 1.989 \cdot 10^{30} \text{ kg}$

FORMULARIO DI ELETTROMAGNETISMO E DI OTTICA

NOTA: le grandezze vettoriali sono indicate in **neretto**.

ELETTROSTATICA

$\epsilon = \epsilon_0 \epsilon_r$ = costante dielettrica assoluta ; ϵ_r = costante dielettrica relativa
Nel vuoto [e con buona approssimazione nell'aria] $\epsilon_r = 1$.

Legge di Coulomb nel vuoto: $F = \frac{1}{4\pi\epsilon_0} \frac{q_1 q_2}{r^2}$ diretta lungo la congiungente $q_1 - q_2$
attrattiva o repulsiva
la forza elettrostatica di Coulomb e' conservativa

Campo elettrostatico \mathbf{E} : è il rapporto tra la forza elettrostatica cui è soggetta una carica q di prova e la carica stessa $\mathbf{E} = \frac{\mathbf{F}}{q}$ (da cui si ha $F = qE$) (nel S.I. N/C)

Energia potenziale della forza di Coulomb: $U(r) = \frac{1}{4\pi\epsilon_0} \frac{q_1 q_2}{r} = U_{12}$ per 2 cariche
per un sistema formato da 3 cariche $U = U_{12} + U_{13} + U_{23}$

Differenza di potenziale fra due punti: $V_B - V_A = \frac{L_{B \rightarrow A}}{q} = \frac{U(B) - U(A)}{q}$ (nel S.I. $J/C = Volt$)
(da cui $L_{1 \rightarrow 2} = q(V_1 - V_2)$)

Potenziale elettrico di un punto P : $V_P = \frac{L_{P \rightarrow \infty}}{q} = \frac{U(P) - U(\infty)}{q}$

Relazione tra il campo elettrostatico e il potenziale:

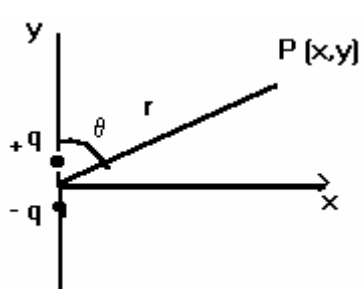
$$E_x = -\frac{\partial V}{\partial x} \quad E_y = -\frac{\partial V}{\partial y} \quad E_z = -\frac{\partial V}{\partial z} \quad \mathbf{E} = E_x \mathbf{i} + E_y \mathbf{j} + E_z \mathbf{k}$$

Campo elettrostatico e potenziale generati da:

- carica isolata puntiforme $\mathbf{E} = \frac{1}{4\pi\epsilon_0} \frac{q}{r^2}$ radiale $V = \frac{1}{4\pi\epsilon_0} \frac{q}{r}$
- distribuzione discreta di carica: $\mathbf{E} = \frac{1}{4\pi\epsilon_0} \sum_i \frac{q_i}{r_i^2} \frac{\mathbf{r}_i}{r_i}$ $V = \frac{1}{4\pi\epsilon_0} \sum_i \frac{q_i}{r_i}$

Il dipolo elettrico

Vettore momento di dipolo $\mathbf{p} = q \mathbf{d}$ (nel S.I. $C \cdot m$) dove \mathbf{d} è il vettore congiungente le due cariche (orientato dalla carica negativa alla positiva).



$$E_x = \frac{1}{4\pi\epsilon_0} \frac{3pxy}{(x^2 + y^2)^{5/2}} \quad r = \sqrt{x^2 + y^2}$$

$$E_y = \frac{1}{4\pi\epsilon_0} \frac{p(2y^2 - x^2)}{(x^2 + y^2)^{5/2}} \quad \cos\theta = \frac{y}{r}$$

A grande distanza dal dipolo (per $r \gg d$):

$$V(r, q) = \frac{1}{4\pi\epsilon_0} \frac{p \cos\theta}{r^2}$$

In un campo esterno \vec{E}_{est} orientato di un angolo α rispetto a \mathbf{p} :

- se il campo è uniforme il dipolo è soggetto a un momento meccanico di rotazione $\mathbf{M} = \mathbf{p} \wedge \vec{E}_{\text{est}}$ di modulo $M = pE \sin\theta$, che tende ad allineare il dipolo con il campo est
- se il campo non è uniforme il dipolo è soggetto anche ad una forza risultante
- energia potenziale del dipolo $U = - \mathbf{p} \cdot \vec{E}_{\text{est}} = - p E_{\text{est}} \cos\alpha$

Campo elettrostatico e potenziale generati da distribuzioni continue di carica:

$$\mathbf{E} = \int_{\text{distribuzione}} d\mathbf{E} = \int \frac{1}{4\pi\epsilon_0} \frac{dq}{r^2} \frac{\mathbf{r}}{r} \quad V = \int_{\text{distribuzione}} dV = \int \frac{1}{4\pi\epsilon_0} \frac{dq}{r}$$

- sbarretta (filo) indefinita con densità lineare λ (C/m) di carica:

$$E = \frac{1}{2\pi\epsilon_0 r} \text{ radiale al filo} \quad V(r) = -\frac{\lambda}{2\pi\epsilon_0} \ln r \quad \text{d.d.p. } V_A - V_B = \frac{\lambda}{2\pi\epsilon_0} \ln \frac{b}{a}$$

- anello di raggio R, carica q in un punto P(z) sull'asse:

$$E = \frac{qz}{4\pi\epsilon_0 (z^2 + R^2)^{3/2}} \quad V = \frac{q}{4\pi\epsilon_0 \sqrt{z^2 + R^2}}$$

- lamina isolante indefinita con distribuzione superficiale σ (C/m^2) di carica:

$$E = \frac{\sigma}{2\epsilon_0} \text{ perpendicolare alla lamina}$$

$$V = V_0 - \left(\frac{\sigma}{2\epsilon_0} \right) z \quad \text{dove } V_0 = \text{potenziale sulla sup. della lamina}$$

- in prossimità di un conduttore: $E = \frac{\sigma}{\epsilon_0} \mathbf{n}$ dove \mathbf{n} = versore della normale esterna alla superficie e σ = densità di carica superficiale (C/m^2)

- disco di raggio R con densità superficiale $\sigma = \frac{q}{\pi R^2}$ (C/m^2) in un punto P(z) sull'asse:

$$E = \frac{\sigma}{2\epsilon_0} \left(1 - \frac{z}{\sqrt{z^2 + R^2}} \right) \quad V = \frac{\sigma}{2\epsilon_0} (\sqrt{z^2 + R^2} - z)$$

- sfera di raggio R con distribuzione volumetrica di carica $\rho = \frac{q}{\frac{4}{3}\pi R^3}$ (C/m³)

$$\text{per } r \leq R \quad E = \frac{\rho r}{3\epsilon_0} = \frac{1}{4\pi\epsilon_0} \frac{qr}{R^3} \quad \text{radiale} \quad V = \frac{\rho}{2\epsilon_0} \left(R^2 - \frac{r^2}{3} \right) = \frac{1}{8\pi\epsilon_0} \frac{q(3R^2 - r^2)}{R^3}$$

$$\text{per } r > R \quad E = \frac{rR^3}{3\epsilon_0 r^2} = \frac{1}{4\pi\epsilon_0} \frac{q}{r^2} \quad \text{radiale} \quad V = \frac{\rho}{3\epsilon_0} \frac{R^3}{r} = \frac{1}{4\pi\epsilon_0} \frac{q}{r}$$

- superficie sferica di raggio R con carica totale Q o densità superficiale $\sigma = \frac{Q}{4\pi R^2}$ (C/m²)

$$\text{per } r \leq R \quad E = 0 \quad V = \frac{\sigma R}{\epsilon_0} = \frac{1}{4\pi\epsilon_0} \frac{Q}{R}$$

$$\text{per } r > R \quad E = \frac{\sigma R^2}{\epsilon_0 r^2} = \frac{1}{4\pi\epsilon_0} \frac{Q}{r^2} \quad \text{radiale} \quad V = \frac{\sigma}{\epsilon_0} \frac{R^2}{r} = \frac{1}{4\pi\epsilon_0} \frac{Q}{r}$$

Capacità elettrica

(nel S.I. $\frac{\text{Coulomb}}{\text{Volt}} = \text{Farad}$)

• **di un conduttore** $C = \frac{Q}{V}$ capacità di una sfera isolata $C = 4\pi\epsilon_0 R$

• **di un condensatore** $C = \frac{Q}{DV}$

condensatore piano $C = \frac{\epsilon_0 S}{d}$ all'interno il campo e' costante $E = \frac{\Delta V}{d}$

condensatore cilindrico $C = \frac{2\pi\epsilon_0 L}{\ln \frac{b}{a}}$

condensatore sferico $C = 4\pi\epsilon_0 \frac{a \cdot b}{b - a}$

Condensatori in parallelo $C = C_1 + C_2$

Condensatori in serie $\frac{1}{C} = \frac{1}{C_1} + \frac{1}{C_2} + \frac{1}{C_3} \dots$

Energia immagazzinata in un condensatore carico $W = \frac{1}{2} C V^2 = \frac{1}{2} \frac{Q^2}{C} = \frac{1}{2} Q V$

Forza tra le armature di un condensatore piano $F = \frac{Q^2}{2 \epsilon A}$

Densità di energia del campo elettrostatico $u = \frac{1}{2} \epsilon_0 E^2$

CORRENTI ELETTRICHE

Intensità di corrente $i = \frac{dq}{dt}$ (nel S.I. $\frac{Coulomb}{sec} = Ampere$)

Legge di Ohm $V = Ri$ (nel S.I. la resistenza $R = \frac{V}{i}$ si misura in $\frac{Volt}{Ampere} = Ohm.[\Omega]$)

Resistenza di un conduttore ohmico $R = \rho \frac{L}{S}$

dipendenza della resistività dalla temperatura $\rho = \rho_0(1 + \alpha(T - T_0))$

Resistenze in serie $R = R_1 + R_2$

Resistenze in parallelo $\frac{1}{R} = \frac{1}{R_1} + \frac{1}{R_2} + \frac{1}{R_3} \dots$

Leggi di Kirchhoff: legge dei nodi $\sum i_k = 0$

legge delle maglie $\sum i_k R_k = \sum V_k$

Effetto Joule $P = i \cdot \Delta V$ per conduttori ohmici $P = i^2 R = \frac{\Delta V^2}{R}$

dove P = potenza media (Watt) e' definita come $P = \frac{\text{Energia}}{\Delta t}$ (da cui $E_n = P \cdot \Delta t$)

MAGNETISMO(nel S.I. B si misura in *Tesla* nel CGS in *Gauss* $1\text{T} = 10^4 \text{ gauss}$)• **Campi B generati da circuiti percorsi da una corrente i:**

- campo generato da un filo rettilineo indefinito di raggio R:

$$\text{per } r \geq R \quad B = \frac{\mu_0 i}{2\pi r} \quad \text{per } r < R \quad B = \frac{\mu_0 i r}{2\pi R^2}$$

- campo sull'asse di una spira circolare di raggio R:
- $B = \frac{\mu_0 i R^2}{2\sqrt{(R^2 + z^2)^3}}$

- campo all'interno di un solenoide indefinito
- $B = \mu_0 i n$
- dove
- $n = \frac{N_{\text{spire}}}{l}$

• **Forza magnetica agente su una carica in moto in un campo B**(Forza di Lorentz) $\mathbf{F} = q \mathbf{v} \wedge \mathbf{B}$ modulo $F = qvB \sin \theta$ Moto di una carica q in un campo B con velocità $\mathbf{v} \wedge \mathbf{B}$:imponendo $F_{\text{Lorentz}} = F_{\text{centripeta}}$ si ottiene raggio $R = \frac{mv}{qB}$ frequenza di ciclotrone $f = \frac{qB}{2\pi m}$ • **Forza magnetica agente su un filo lungo l percorso da una corrente i costante** $\mathbf{F} = i \mathbf{l} \wedge \mathbf{B}$ modulo $F = i l B \sin \alpha$ • **Forza magnetica tra due fili paralleli percorsi da corrente:** $F_{12} = \frac{\mu_0 i_1 i_2 l}{2\pi d}$ • **Momento meccanico di rotazione agente su una bobina formata da N spire di area A percorse da una corrente i costante** $\mathbf{M} = m \hat{\mathbf{U}} \mathbf{B}_{\text{est}}$ con $m = N i A$ **Legge di induzione di Faraday-Neumann-Lenz:** (il flusso di B attraverso una superficie chiusa S e' definito come $\Phi(B) = B \cdot S \cos \theta$ e nel S.I. si misura in *Weber*)

$$\varepsilon_{\text{ind / media}} = -N \frac{\Delta \Phi(B)}{\Delta t} = -N \frac{\Phi_2 - \Phi_1}{t_2 - t_1} \quad i_{\text{ind}} = \frac{\varepsilon_{\text{ind}}}{R} \quad q_{\text{ind}} = i_{\text{ind}} \Delta t = -N \frac{\Phi_2 - \Phi_1}{R}$$

Spira di resistenza R, lati a e b estratta con $v = \text{cost}$ (lato $a^{1/2} \text{®}$) da un campo B:

$$e_{\text{ind}} = Bav \quad \text{Forza necessaria } F = iaB = \frac{B^2 a^2 v}{R}$$

Induttanza: definizione $L = \frac{N\Phi(B)}{i}$ (nel S.I. si misura in *Henry*) $\Rightarrow \varepsilon_{\text{ind / media}} = -L \frac{\Delta i}{\Delta t}$ per un solenoide nel vuoto: $L = \mu_0 n^2 l S$ **Energia immagazzinata in una induttanza** $W = \frac{1}{2} L i^2$ **Densità di energia di un campo magnetico** $u = \frac{1}{2\mu_0} B^2$

ONDE ELETTROMAGNETICHE E OTTICA

Onda e.m. piana - sinusoidale - polarizzata linearmente che si propaga nella direzione z

$$E = E_x = E_0 \sin k(z - vt) \quad B = B_y = B_0 \sin k(z - vt)$$

- relazioni tra i parametri dell'onda sinusoidale: $k = \frac{2\pi}{\lambda}$; $\lambda f = v$; $w = 2\pi f$

- nelle precedenti equazioni i campi elettrici e magnetici sono legati dalle relazioni

$$E_0 = v B_0 \quad (\text{nel vuoto } E = cB)$$

con $v = \text{velocità di propagazione dell'onda in un mezzo} = \frac{1}{\sqrt{\epsilon\mu}} = \frac{c}{\sqrt{\epsilon_r\mu_r}}$

$$c = \text{velocità di propagazione nel vuoto} = \frac{1}{\sqrt{\epsilon_0\mu_0}} = 3 \cdot 10^8 \text{ m/sec}$$

Vettore di Poynting: $\mathbf{S} = \frac{1}{\mu_0} \mathbf{E} \wedge \mathbf{B}$ = energia trasportata nell'unità di tempo per unità di area

Intensità media di un'onda e.m. sinusoidale = potenza per unità di superficie $\left(\frac{\text{Watt}}{\text{m}^2} \right)$

$$\langle I \rangle = S_{\text{medio}} = \frac{1}{2} S_{\text{MAX}} = c\epsilon_0 (E_{\text{medio}})^2 = \frac{1}{2\mu_0} E_0 B_0 = \frac{1}{2} c\epsilon_0 E_0^2$$

Polarizzazione

Legge di Malus $I = I_0 \cos^2 \theta$

Legge di Brewster $\tan \theta_B = n_{12}$

Ottica geometrica

Relazione tra indice di rifrazione e costante dielettrica $n = \sqrt{\epsilon_r\mu_r}$

Velocità della luce e lunghezza d'onda in un mezzo: $v = \frac{c}{n}$ $\lambda_n = \frac{v}{f} = \frac{\lambda_{\text{vuoto}}}{n}$

Leggi di Snell $\theta_{\text{inc}} = \theta_{\text{riflessione}}$; $\frac{\sin \theta_{1\text{inc}}}{\sin \theta_{2\text{rifraz}}} = n_{12} = \frac{n_2}{n_1} = \frac{v_2}{v_1}$

Angolo limite $\phi_0 = \arcsin \frac{n_2}{n_1}$ $[n_2 < n_1]$

Legge dei punti coniugati $\frac{1}{p} + \frac{1}{q} = \frac{1}{f}$ Ingrandimento $G = \frac{h_{\text{immag}}}{h_{\text{oggetto}}} = \left| \frac{q}{p} \right|$

- per uno specchio $f = \frac{r}{2}$

- per una lente sottile $\frac{1}{f} = \left(\frac{n_2}{n_1} - 1 \right) \left(\frac{1}{r_1} - \frac{1}{r_2} \right)$

$$\text{potere diottrico di una lente} = \frac{1}{f(\text{metri})} \text{ in diottrie}$$

Interferenza

Date due onde che si propagano nella stessa direzione e i cui vettori elettrici vibrano nello stesso piano

$$E_1 = A_1 \sin [k(z - vt) + \mathbf{f}_1] \quad e \quad E_2 = A_2 \sin [k(z - vt) + \mathbf{f}_2]$$

se $\phi_1 - \phi_2$ è costante nel tempo (onde coerenti) \Rightarrow l'onda risultante dalla loro

sovrapposizione ha intensità $I = I_1 + I_2 + 2\sqrt{I_1 I_2} \cos(\phi_1 - \phi_2)$

Esperimento di Young della doppia fenditura

(d = distanza tra le fenditure, D = distanza fenditure-schermo)

- interferenza distruttiva $d \sin \vartheta = (n + \frac{1}{2}) \lambda$
- interferenza costruttiva (bande chiare) $d \sin \vartheta = n \lambda$
- posizione della n - ma frangia luminosa $y_n = n \frac{D\lambda}{d}$
- intensità risultante $I = I_0 \cos^2 \beta$ con $\beta = \frac{\pi d}{\lambda} \sin \vartheta$

Diffrazione da fenditura circolare:

Posizione del primo minimo nella diffrazione da un foro circolare di diametro d:

$$\sin \vartheta = 1.22 \frac{\lambda}{d}$$

PRINCIPALI COSTANTI DI INTERESSE PER L'ELETTROMAGNETISMO

Costante dielettrica del vuoto	$\epsilon_0 = 8.86 \cdot 10^{-12} \text{ F/m}$
Costante di Coulomb	$k = \frac{1}{4\pi\epsilon_0} = 9.0 \cdot 10^9 \text{ m/F}$
Permeabilità magnetica del vuoto	$\mu_0 = 4\pi \cdot 10^{-7} \text{ H/m}$
Carica dell'elettrone/protone	$e = 1.60 \cdot 10^{-19} \text{ C}$
Massa dell'elettrone	$m_e = 9.1 \cdot 10^{-31} \text{ kg}$
Rapporto e/m per l'elettrone	$\frac{e}{m} = 1.76 \cdot 10^{11} \text{ C/kg}$
Massa del protone	$m_p = 1.67 \cdot 10^{-27} \text{ kg}$
Velocità delle onde e.m. nel vuoto	$c = 3.0 \cdot 10^8 \text{ m/s}$
Costante di Planck	$h = 6.63 \cdot 10^{-34} \text{ J}\cdot\text{s}$

Spettro elettromagnetico:

$\lambda \text{ (Å)}$	$f \text{ (Hz)}$	tipo
$< 10^{-1}$	$> 10^{19}$	<i>raggi γ</i>
$10^{-1} \div 10^2$	$10^{19} \div 10^{16}$	<i>raggi X</i>
$10^2 \div 10^3$	$10^{16} \div 10^{15}$	<i>ultravioletto</i>
$(4 \div 8) 10^3$	$8 \cdot 10^{14} \div 4 \cdot 10^{14}$	<i>visibile</i>
$10^4 \div 10^6$	$10^{14} \div 10^{12}$	<i>infrarosso</i>
$10^6 \div 10^8$	$10^{12} \div 10^{10}$	<i>microonde</i>
$> 10^8$	$< 10^{10}$	<i>radioonde</i>

===== >>>

**onde e.m. rivelate
dall'occhio umano:**
 400 - 450 nm violetto
 450 - 500 nm blu
 500 - 550 nm verde
 550 - 600 nm giallo
 600 - 650 nm arancio
 650 - 700 nm rosso

FATTORI DI CONVERSIONE

1 eV (elettron-Volt)	=	$1.6 \cdot 10^{-19} \text{ J}$
1 μ = 1 μm	=	10^{-6} m
1 nm	=	10^{-9} m
1 Å	=	10^{-10} m